

# Osciladores sinusoidales

## Trabajo Práctico 4

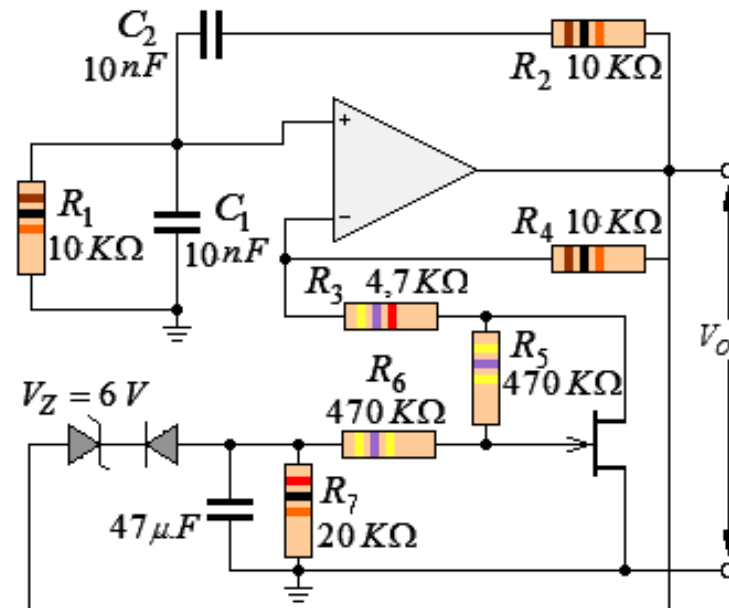
### Problema 1

Cátedra: CIRCUITOS ELECTRÓNICOS II

## Oscilador Puente de Wien

### Problema N° 1:

En el oscilador Puente de Wien de la figura se implementó un lazo de control automático, que corrige la ganancia del sistema cuando detecta que se sale del rango lineal de trabajo. Explicar el funcionamiento del mismo.

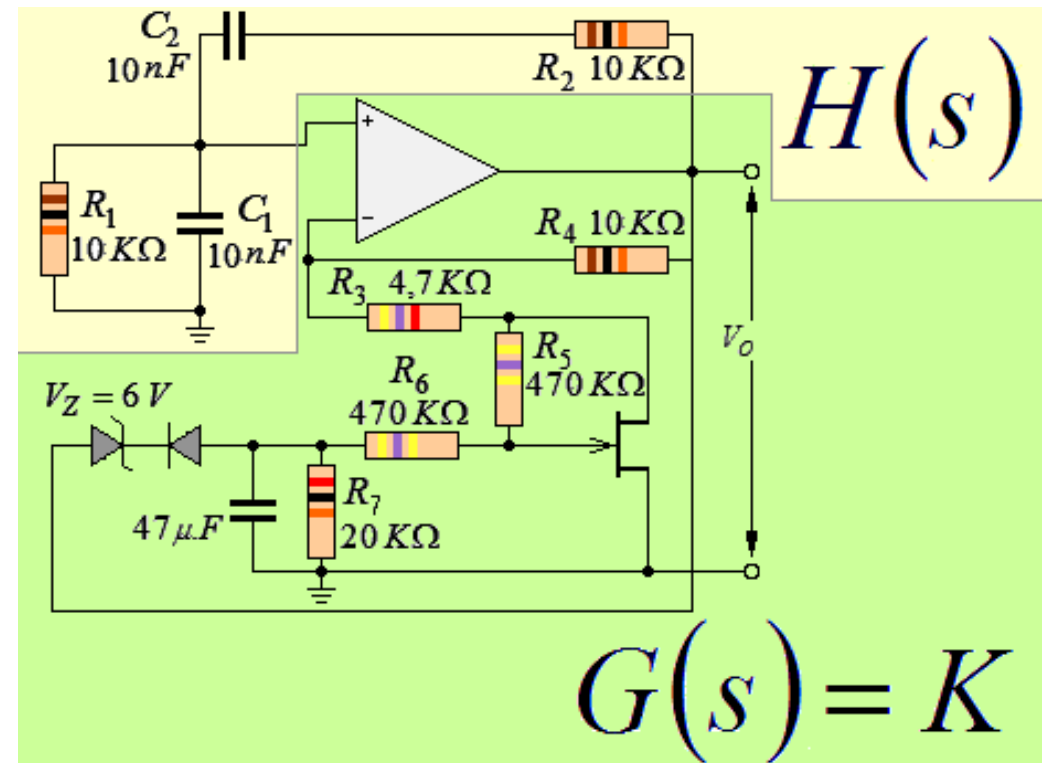


## Oscilador Puento de Wien

Problema N° 1:

$$T(s) = \frac{G(s)}{1 - G(s) \cdot H(s)}$$

En el oscilador Puento de Wien de la figura se implementó un lazo de control automático, que corrige la ganancia del sistema cuando detecta que se sale del rango lineal de trabajo. Explicar el funcionamiento del mismo.

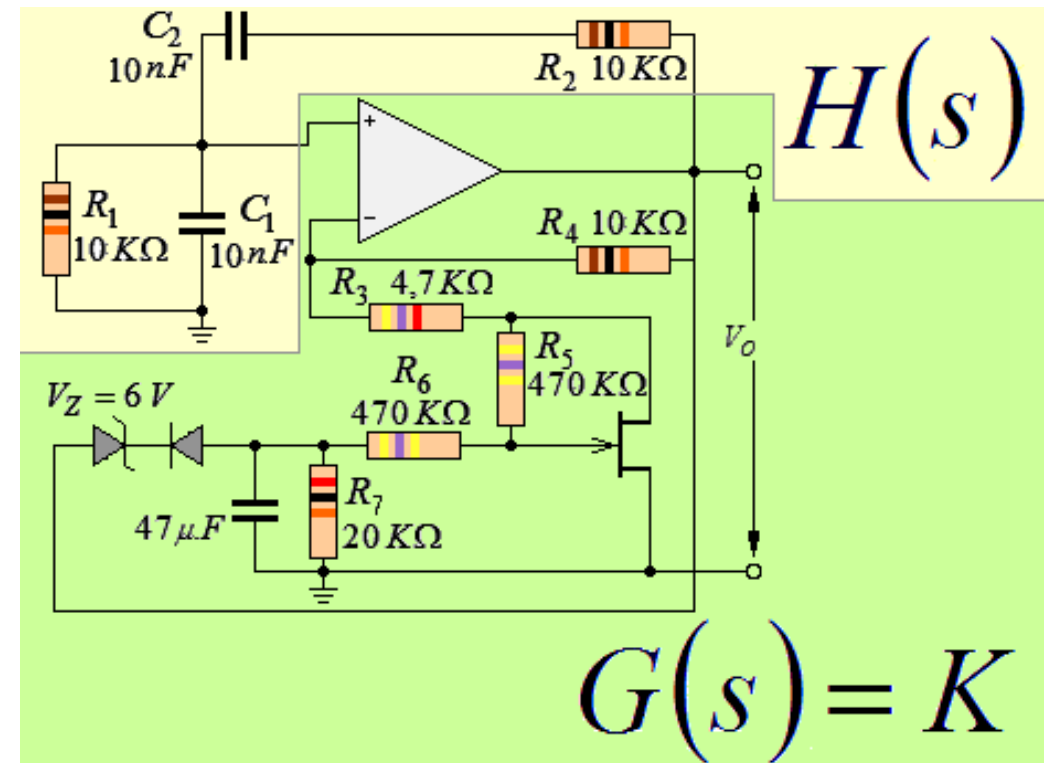


## Oscilador Puentes de Wien

$$T(s) = \frac{G(s)}{1 - G(s) \cdot H(s)}$$

$$H(s) = \frac{v_{out}(s)}{v_{in}(s)} = \frac{Z_1(s)}{Z_1(s) + Z_2(s)}$$

$$G(s) = 1 + \frac{R_4}{R_3 + R_{FET}} = K$$



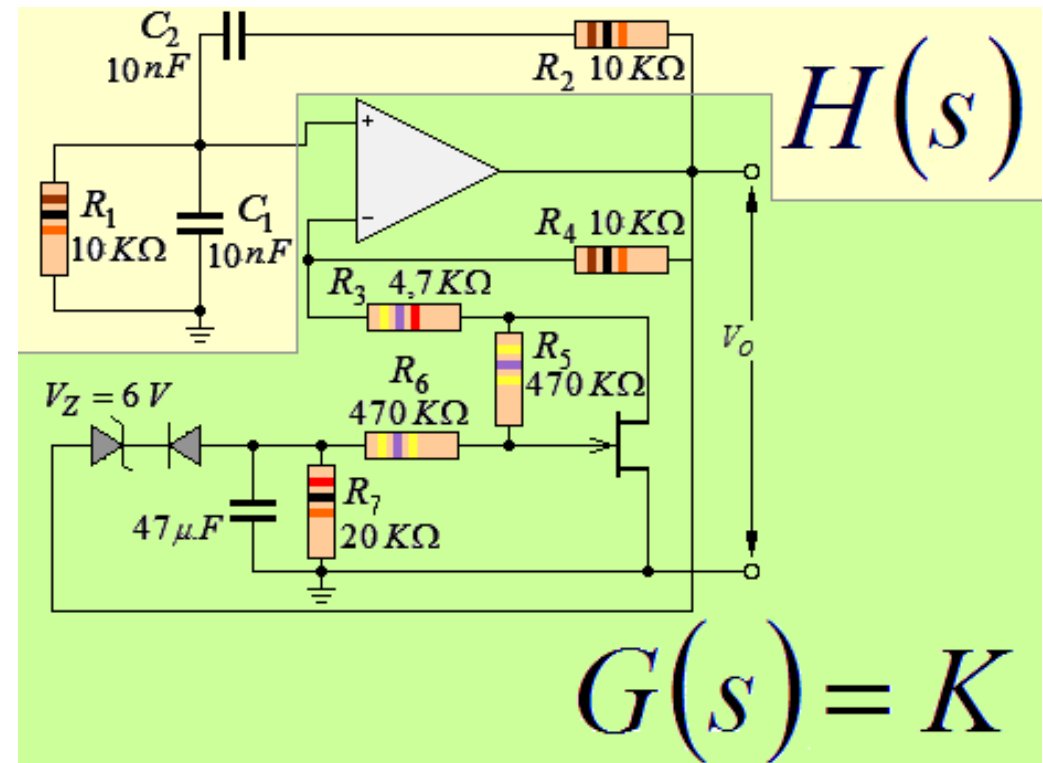
$$T(s) = \frac{K}{1 - \frac{K \cdot Z_1(s)}{Z_1(s) + Z_2(s)}} = \frac{K \cdot [Z_1(s) + Z_2(s)]}{Z_1(s) + Z_2(s) - K \cdot Z_1(s)} = \frac{K \cdot [Z_1(s) + Z_2(s)] \div Z_1(s)}{1 + [Z_2(s) \div Z_1(s)] - K}$$

## Oscilador Puentes de Wien

$$T(s) = \frac{G(s)}{1 - G(s) \cdot H(s)}$$

$$H(s) = \frac{v_{out}(s)}{v_{in}(s)} = \frac{Z_1(s)}{Z_1(s) + Z_2(s)}$$

$$G(s) = 1 + \frac{R_4}{R_3 + R_{FET}} = K$$



$$T(s) = \frac{K}{1 - \frac{K \cdot Z_1(s)}{Z_1(s) + Z_2(s)}} = \frac{K \cdot [Z_1(s) + Z_2(s)]}{Z_1(s) + Z_2(s) - K \cdot Z_1(s)} = \frac{K \cdot [Z_1(s) + Z_2(s)] \div Z_1(s)}{1 + [Z_2(s) \div Z_1(s)] - K}$$

## Oscilador Puento de Wien

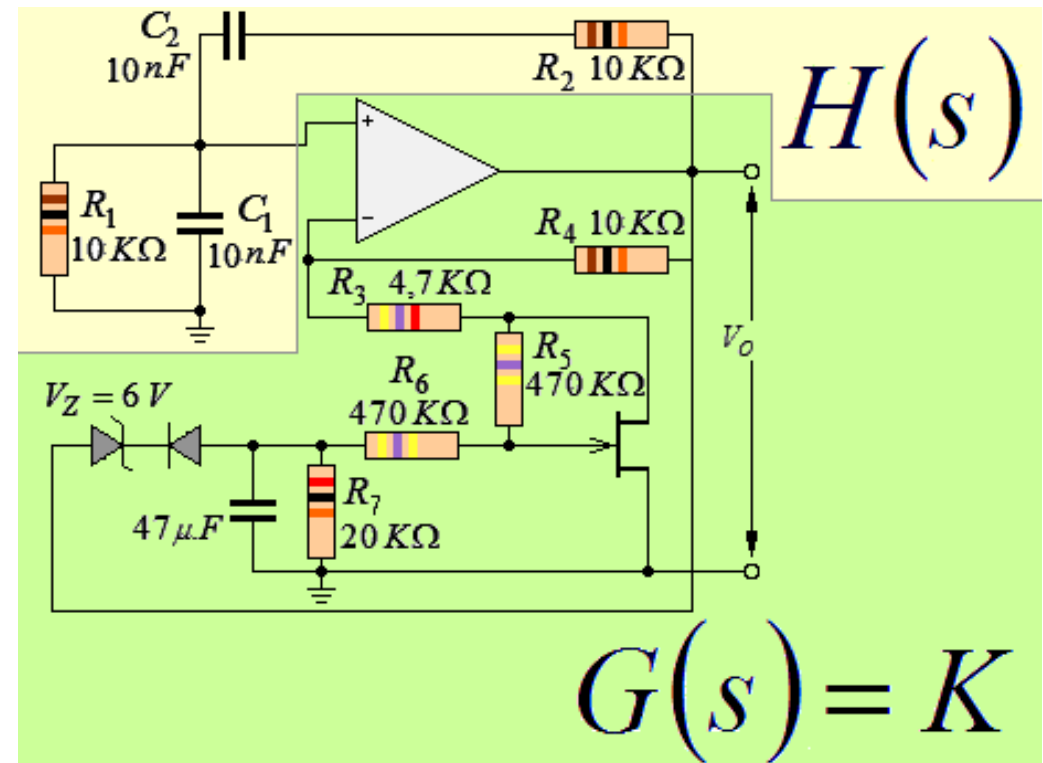
$$\text{si : } R_1 = R_2 \text{ y } C_1 = C_2 \quad Z_1(s) = \frac{1}{\frac{1}{R} + sC} = \frac{R}{1 + sCR} \quad Z_2(s) = R + \frac{1}{sC} = \frac{sRC + 1}{sC}$$

$$D_{T(s)} = 1 + (Z_2(s) \div Z_1(s)) - K$$

$$D_{T(s)} = 1 + \left( \frac{sRC + 1}{sC} \div \frac{R}{1 + sCR} \right) - K$$

$$D_{T(s)} = s^2 + s \left( \frac{3}{RC} - \frac{K}{RC} \right) + \frac{1}{(RC)^2}$$

$$D_{T(s)} = s^2 + s \frac{2}{RC} \left( \frac{3 - K}{2} \right) + \frac{1}{(RC)^2}$$



$$T(s) = \frac{K}{1 - \frac{K \cdot Z_1(s)}{Z_1(s) + Z_2(s)}} = \frac{K \cdot [Z_1(s) + Z_2(s)]}{Z_1(s) + Z_2(s) - K \cdot Z_1(s)} = \frac{K \cdot [Z_1(s) + Z_2(s)] \div Z_1(s)}{1 + [Z_2(s) \div Z_1(s)] - K}$$

## Oscilador Puentes de Wien

$$si : R_1 = R_2 \text{ y } C_1 = C_2$$

$$Z_1(s) = \frac{1}{\frac{1}{R} + sC} = \frac{R}{1 + sCR}$$

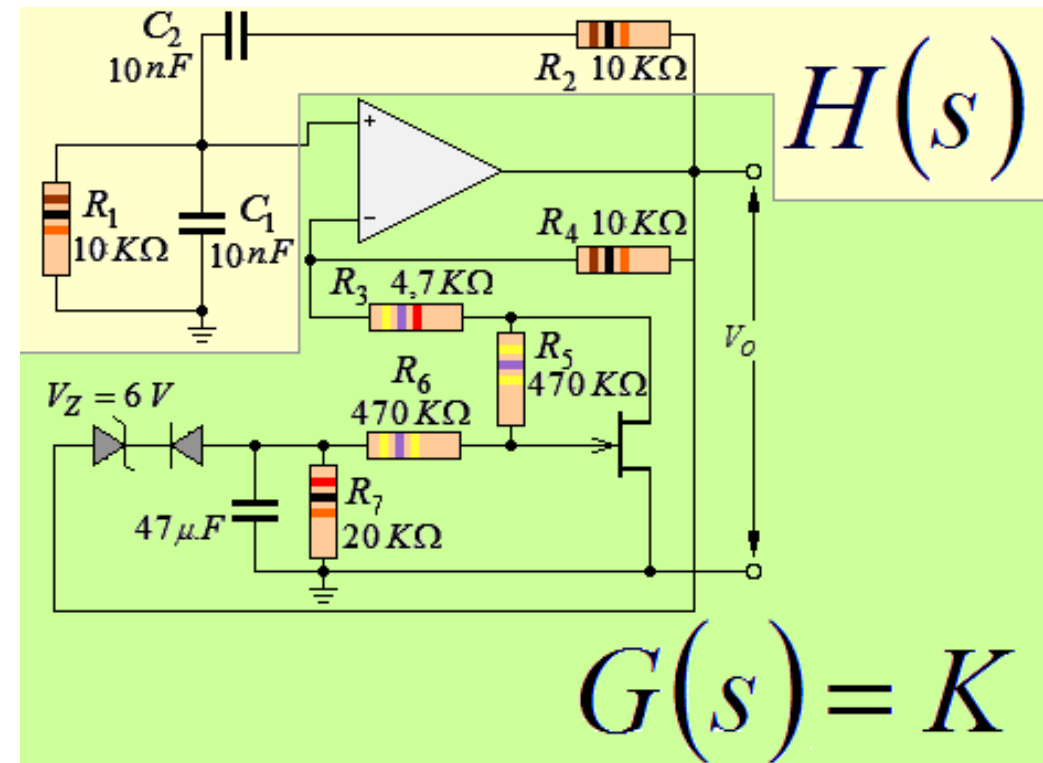
$$Z_2(s) = R + \frac{1}{sC} = \frac{sRC + 1}{sC}$$

$$D_{T(s)} = 1 + (Z_2(s) \div Z_1(s)) - K$$

$$D_{T(s)} = 1 + \left( \frac{sRC + 1}{sC} \div \frac{R}{1 + sCR} \right) - K$$

$$D_{T(s)} = s^2 + s \left( \frac{3}{RC} - \frac{K}{RC} \right) + \frac{1}{(RC)^2}$$

$$D_{T(s)} = s^2 + s \frac{2}{RC} \left( \frac{3 - K}{2} \right) + \frac{1}{(RC)^2}$$



$$s^2 + s \frac{1}{RC} 2 \left( \frac{3 - K}{2} \right) + \frac{1}{(RC)^2} = s^2 + s w_0 2\xi + w_0^2$$

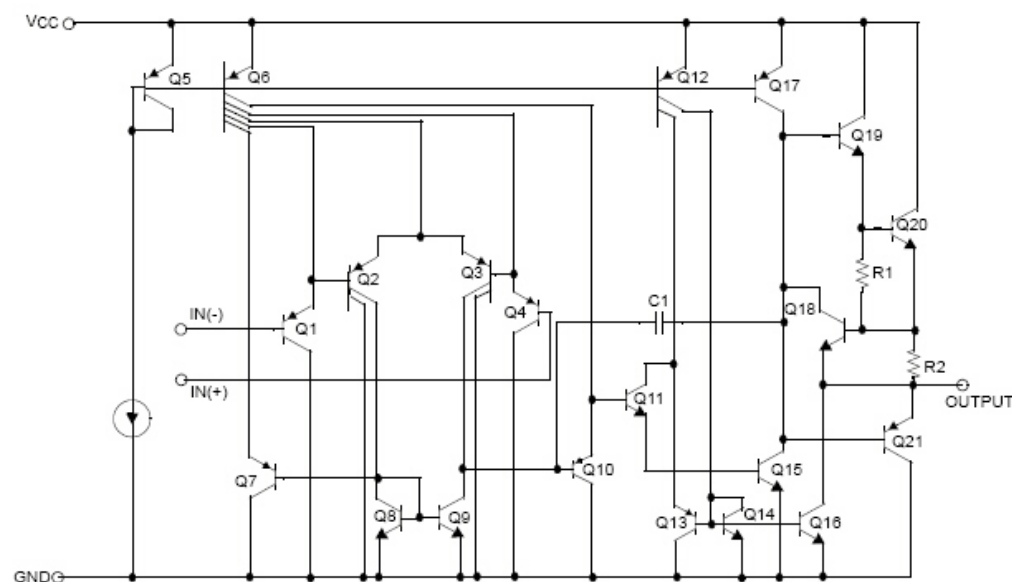
$$w_0 = \frac{1}{RC}$$

$$\xi = \left( \frac{3 - K}{2} \right)$$

LM2902, LM324/LM324A, LM224/LM224A

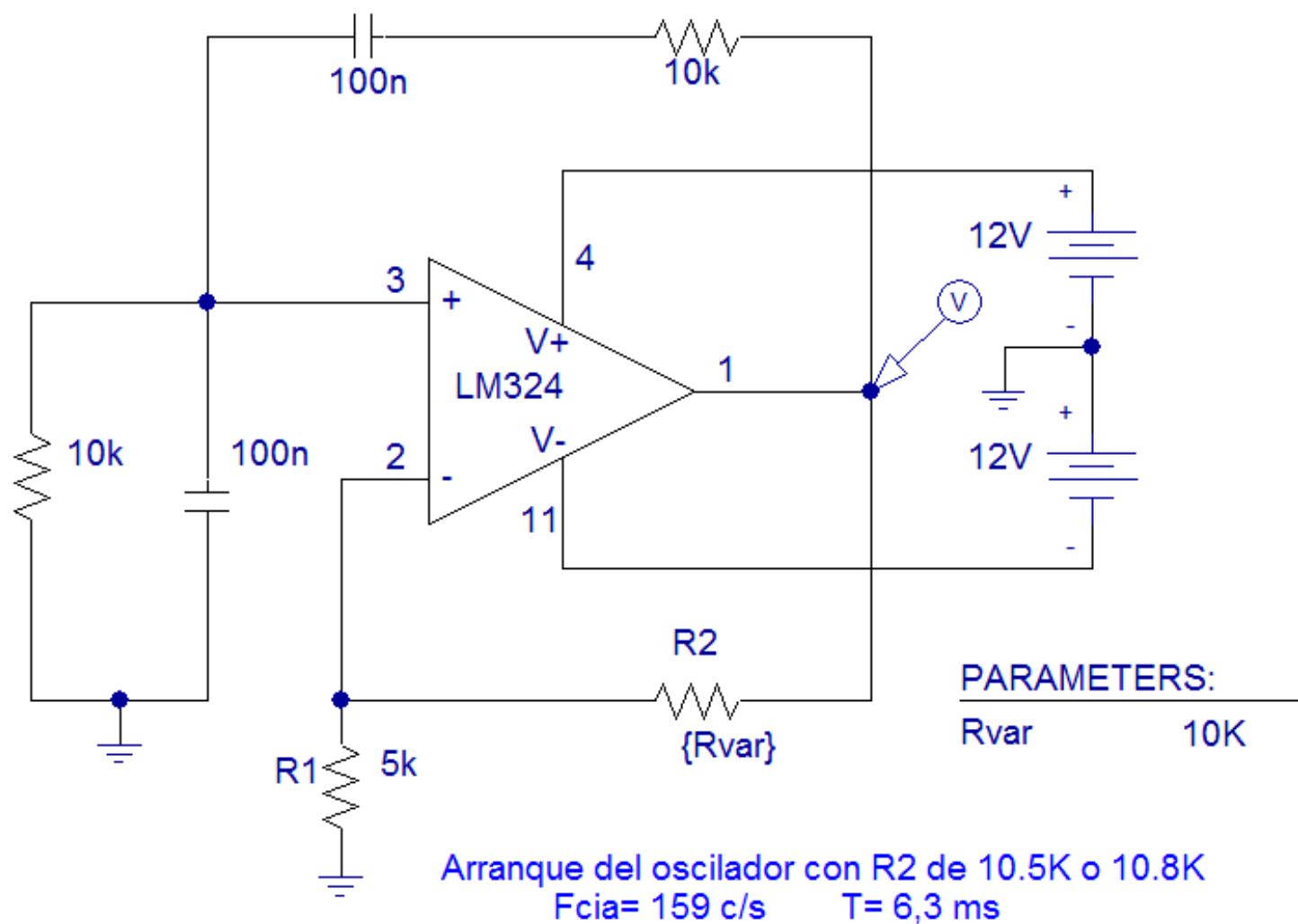
**Schematic Diagram**

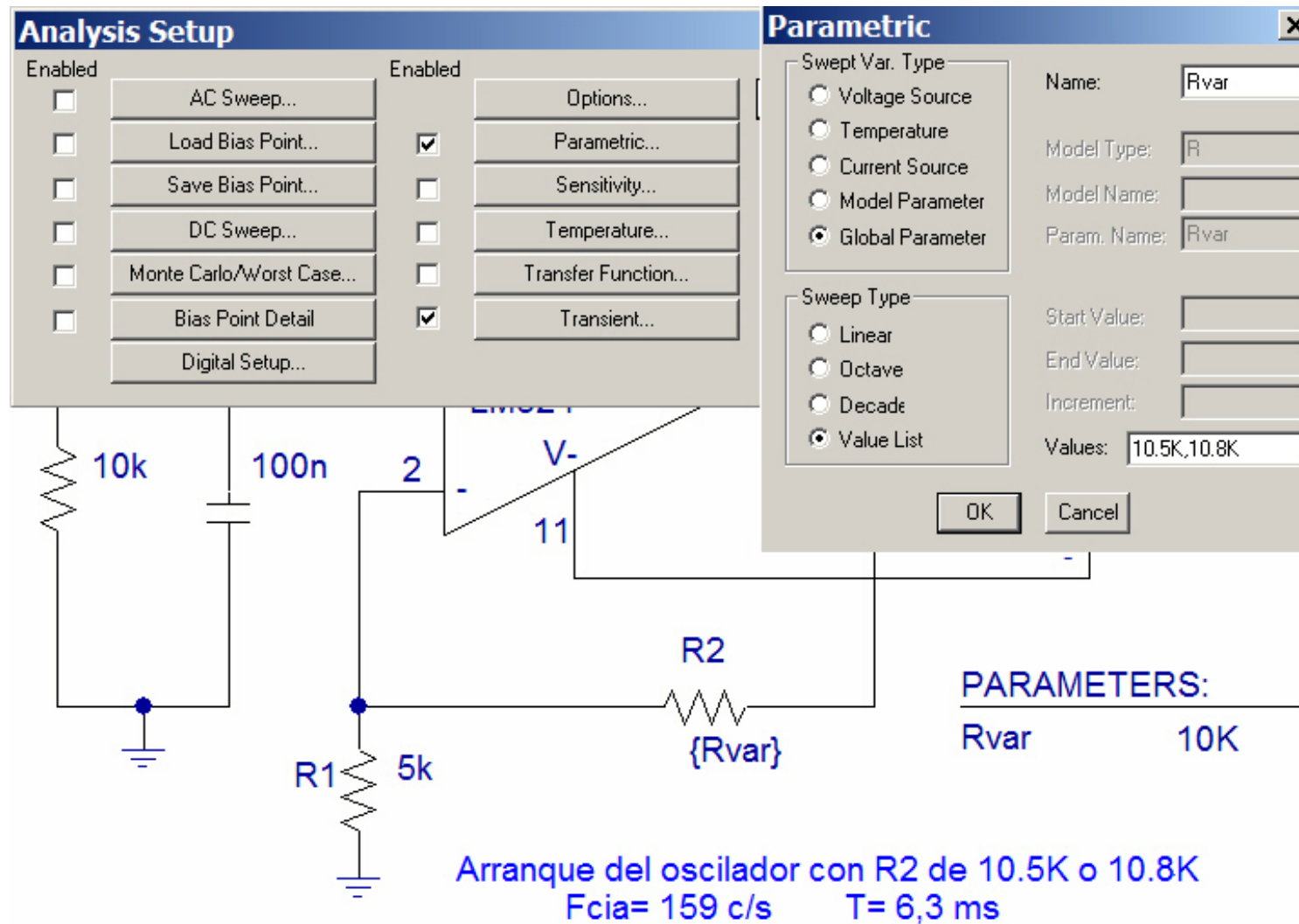
(One Section Only)

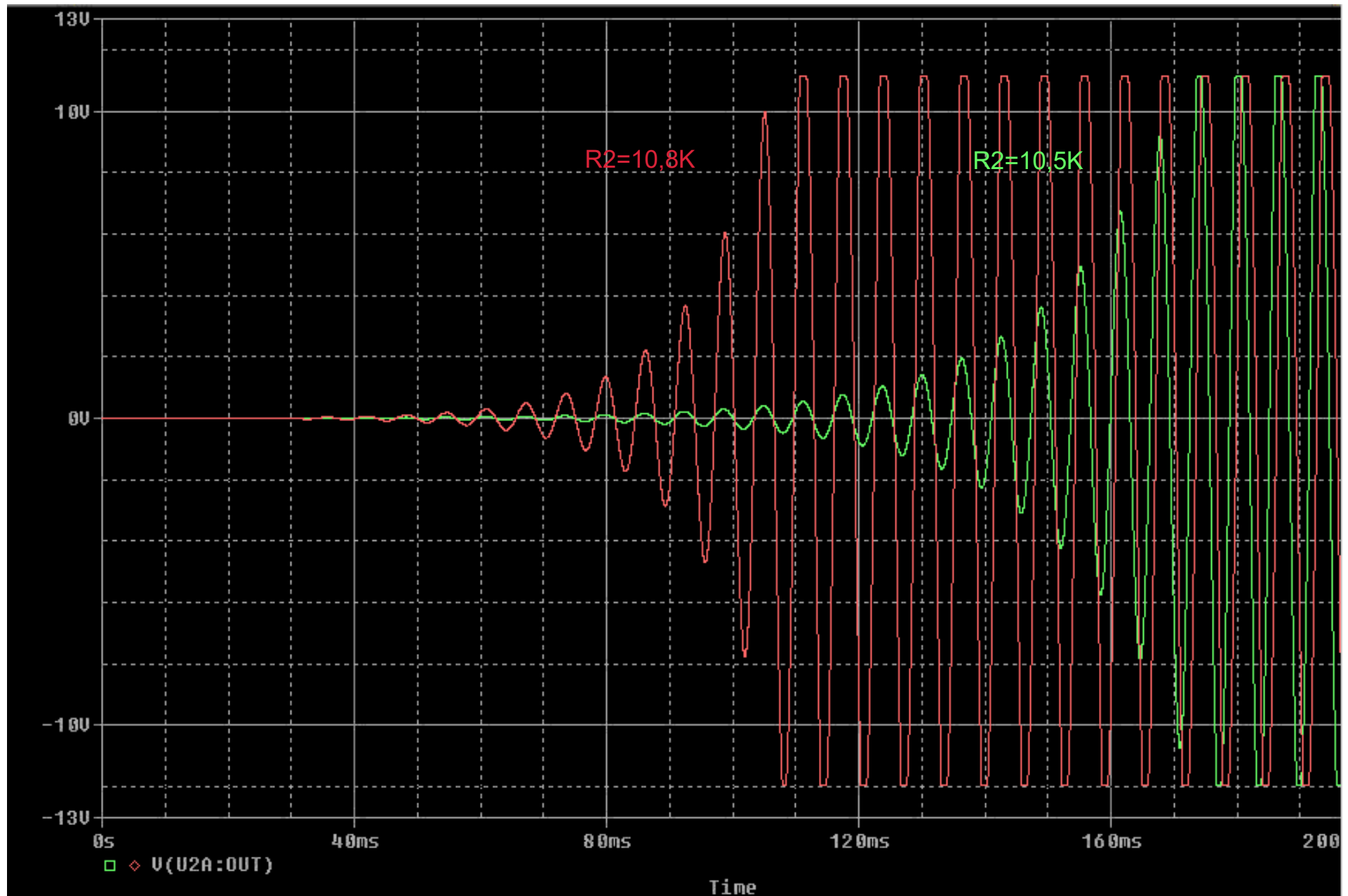
1 / 4 *LM324***Absolute Maximum Ratings**

Parameter	Symbol	LM224/LM224A	LM324/LM324A	LM2902	Unit
Power Supply Voltage	$V_{CC}$	$\pm 16$ or 32	$\pm 16$ or 32	$\pm 13$ or 26	V
Differential Input Voltage	$V_{I(DIFF)}$	32	32	26	V
Input Voltage	$V_I$	-0.3 to +32	-0.3 to +32	-0.3 to +26	V
Output Short Circuit to GND $V_{CC} \leq 15V$ , $T_A = 25^\circ C$ (one Amp)	-	Continuous	Continuous	Continuous	-
Power Dissipation, $T_A = 25^\circ C$ 14-DIP 14-SOP	$P_D$	1310 640	1310 640	1310 640	mW
Operating Temperature Range	$T_{OPR}$	-25 ~ +85	0 ~ +70	-40 ~ +85	$^\circ C$
Storage Temperature Range	$T_{STG}$	-65 ~ +150	-65 ~ +150	-65 ~ +150	$^\circ C$

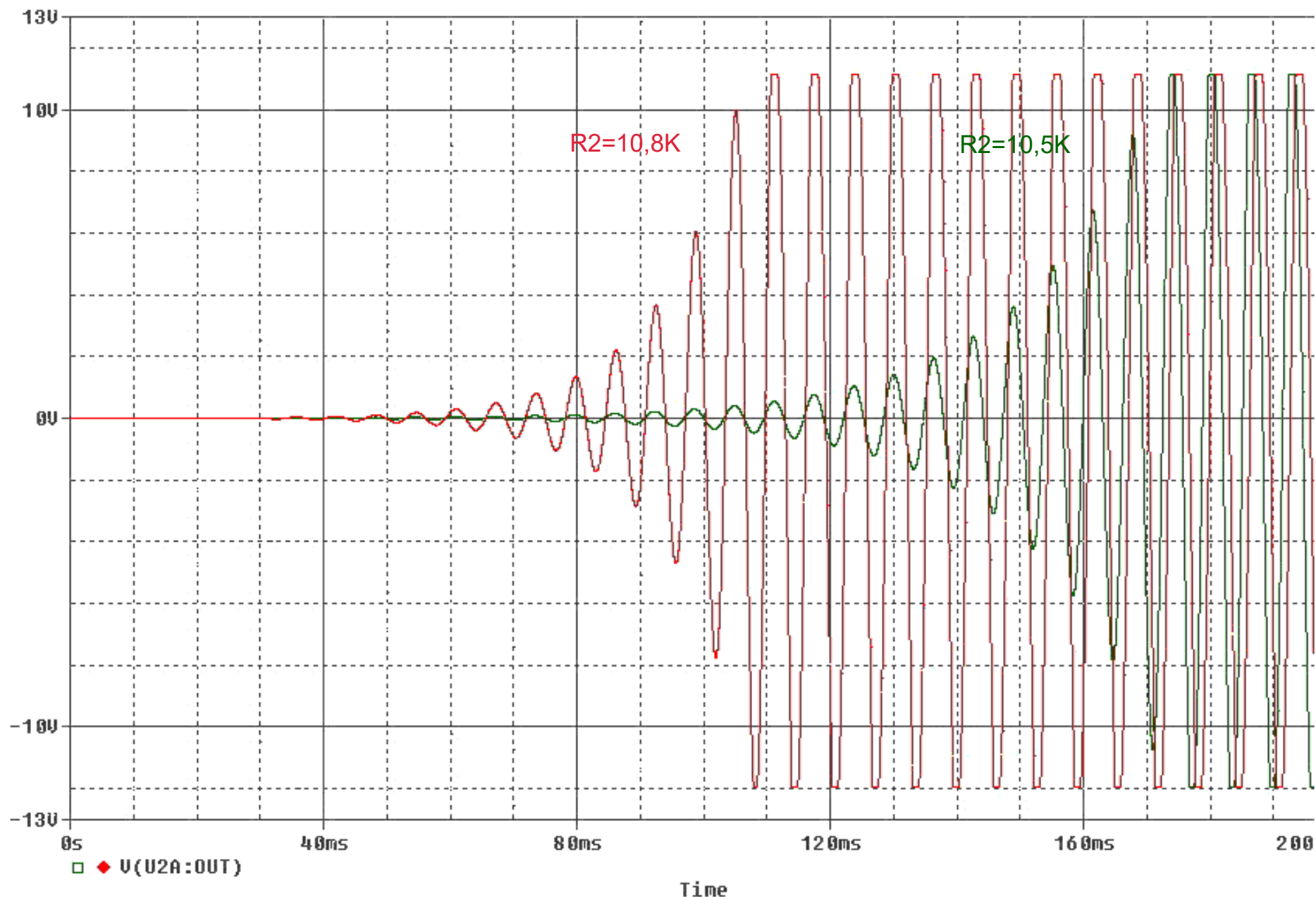




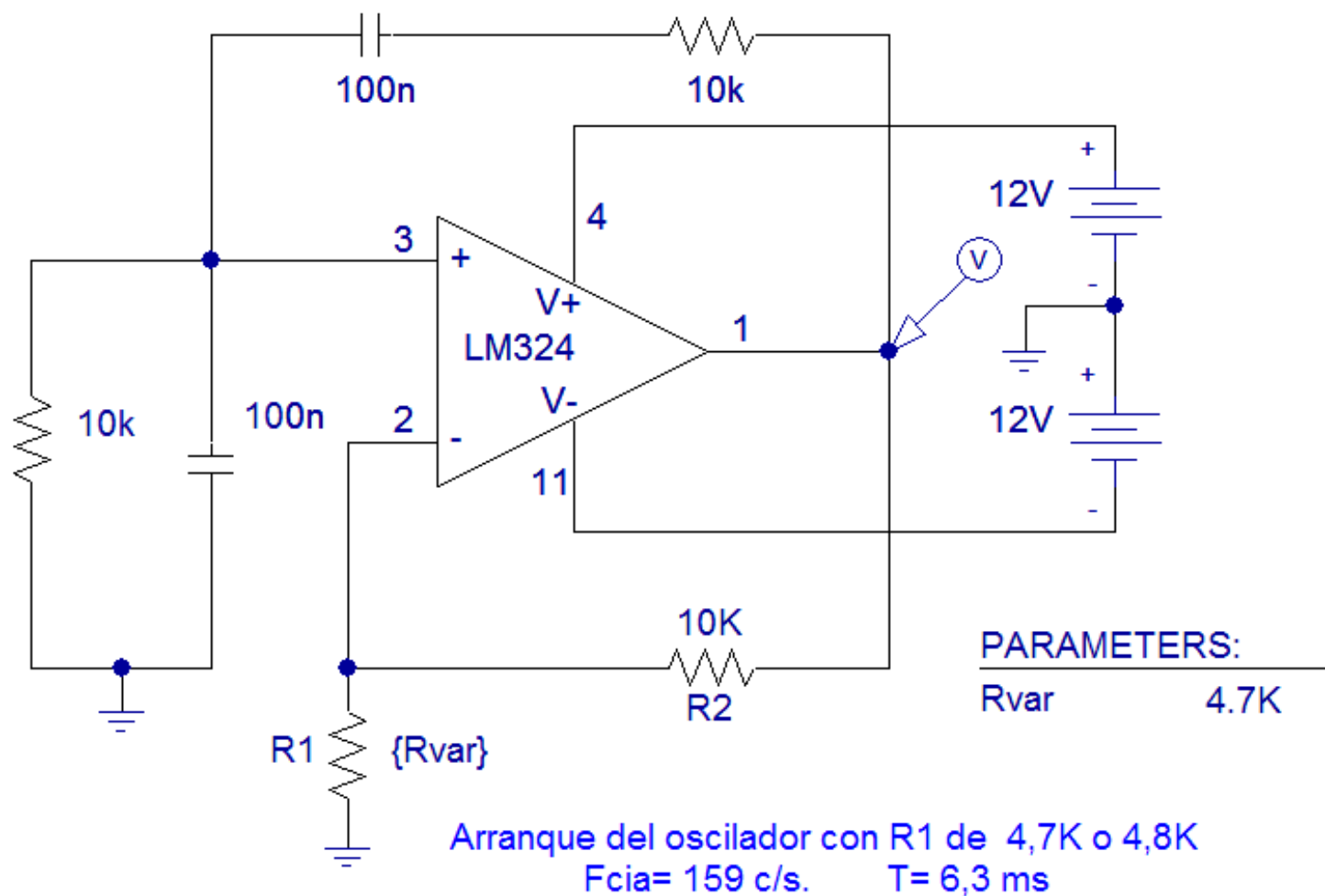




*Respuesta del oscilador con dos valores distintos de  $R2$*



*Respuesta del oscilador con dos valores distintos de  $R2$*



**Analysis Setup**

Enabled

- ☐ AC Sweep...
- ☐ Load Bias Point...
- ☐ Save Bias Point...
- ☐ DC Sweep...
- ☐ Monte Carlo/Worst Case...
- ☐ Bias Point Detail
- ☐ Digital Setup...

Enabled

- ☒ Parametric...
- ☐ Sensitivity...
- ☐ Temperature...
- ☐ Transfer Function...
- ☒ Transient...

**Parametric**

Swept Var. Type

- ☐ Voltage Source
- ☐ Temperature
- ☐ Current Source
- ☐ Model Parameter
- ☒ Global Parameter

Name: Rvar

Model Type: R

Model Name:

Param. Name: Rvar

Sweep Type

- ☐ Linear
- ☐ Octave
- ☐ Decade
- ☒ Value List

Start Value:

End Value:

Increment:

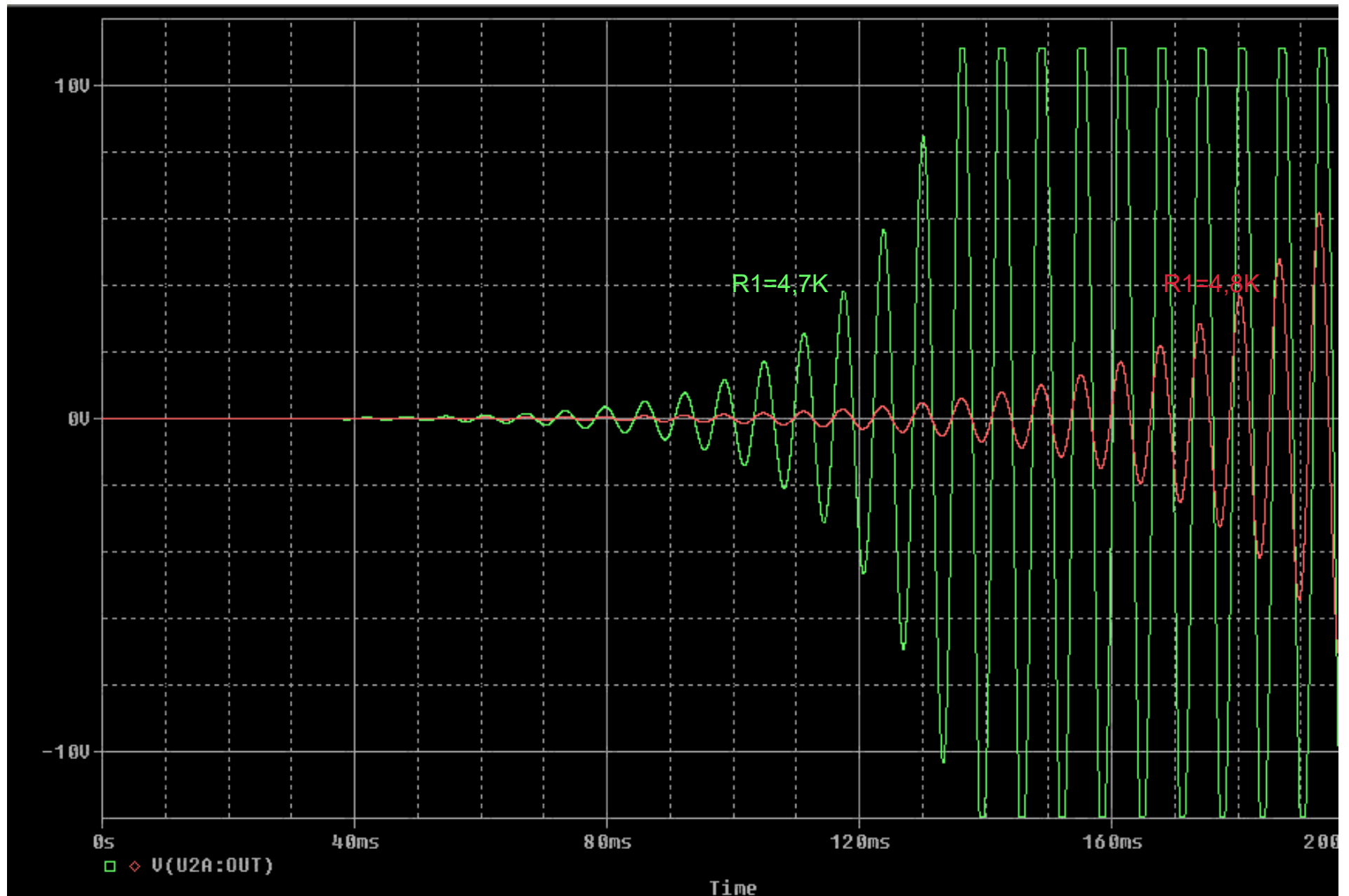
Values: 4.7K,4.8K

OK Cancel

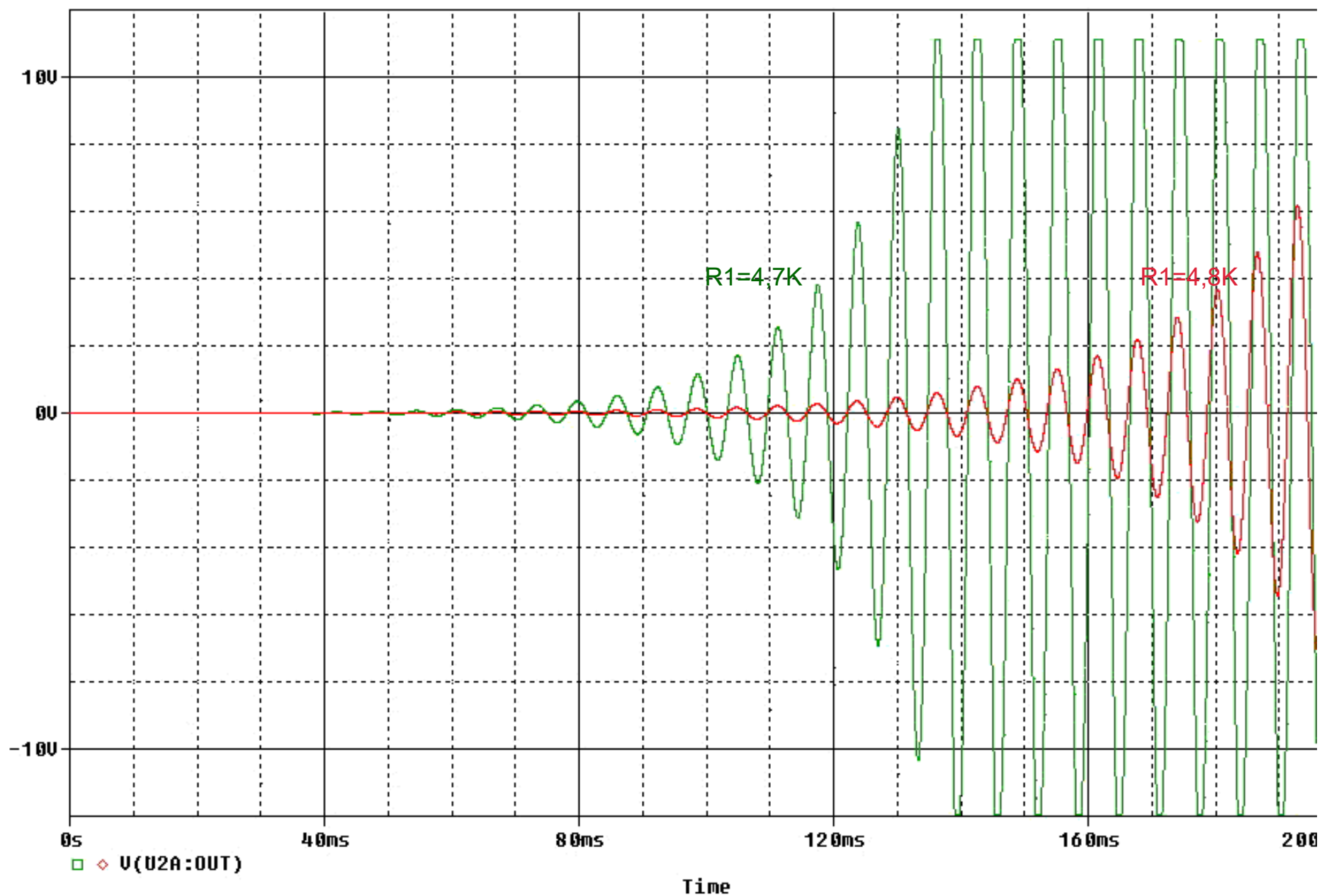
**PARAMETERS:**

PARAMETER	VALUE
Rvar	4.7K

Arranque del oscilador con R1 de 4,7K o 4,8K  
Fcia= 159 c/s. T= 6,3 ms



*Respuesta del oscilador con dos valores distintos de  $R1$*



*Respuesta del oscilador con dos valores distintos de  $R1$*





1N746 thru 1N759A, -1 and  
1N4370 thru 1N4372A, -1 DO-35

Silicon 500 mW Zener Diodes

### ELECTRICAL CHARACTERISTICS\* @ 25°C

JEDEC TYPE NO.  (NOTE 1)	NOMINAL ZENER VOLTAGE $V_Z$ @ $I_{ZT}$ (NOTE 2)	ZENER TEST CURRENT $I_{ZT}$	MAXIMUM ZENER IMPEDANCE $Z_{ZT}$ @ $I_{ZT}$ (NOTE 3)	MAXIMUM REVERSE CURRENT $I_R$ @ $V_R = 1$ VOLT		MAXIMUM ZENER CURRENT $I_{ZM}$ (NOTE 4)	TYPICAL TEMP COEFF. OF ZENER VOLTAGE $\alpha_{VZ}$
				@25°C	@+150°C		
				$\mu A$	$\mu A$		
1N4370	2.4	20	30	100	200	150	-.085
1N4371	2.7	20	30	75	150	135	-.080
1N4372	3.0	20	29	50	100	120	-.075
1N746	3.3	20	28	10	30	110	-.066
1N747	3.6	20	24	10	30	100	-.058
1N748	3.9	20	23	10	30	95	-.046
1N749	4.3	20	22	2	30	85	-.033
1N750	4.7	20	19	2	30	75	-.015
1N751	5.1	20	17	1	20	70	+/- .010
1N752	5.6	20	11	1	20	65	+.030
1N753	6.2	20	7	.1	20	60	+.049
1N754	6.8	20	5	.1	20	55	+.053
1N755	7.5	20	6	.1	20	50	+.057
1N756	8.2	20	8	.1	20	45	+.060
1N757	9.1	20	10	.1	20	40	+.061
1N758	10.0	20	17	.1	20	35	+.062
1N759	12.0	20	30	.1	20	30	+.062

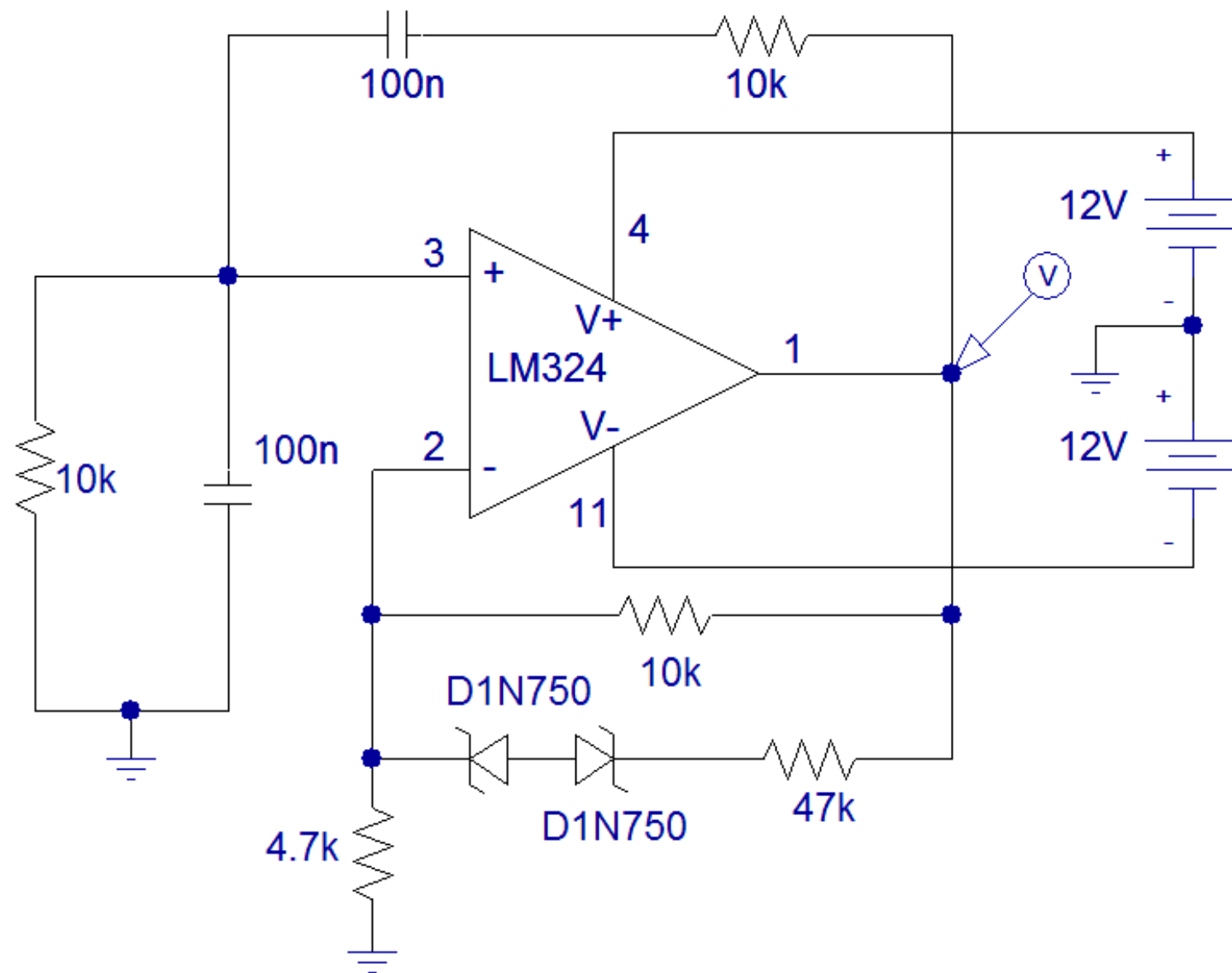
\* JEDEC Registered Data

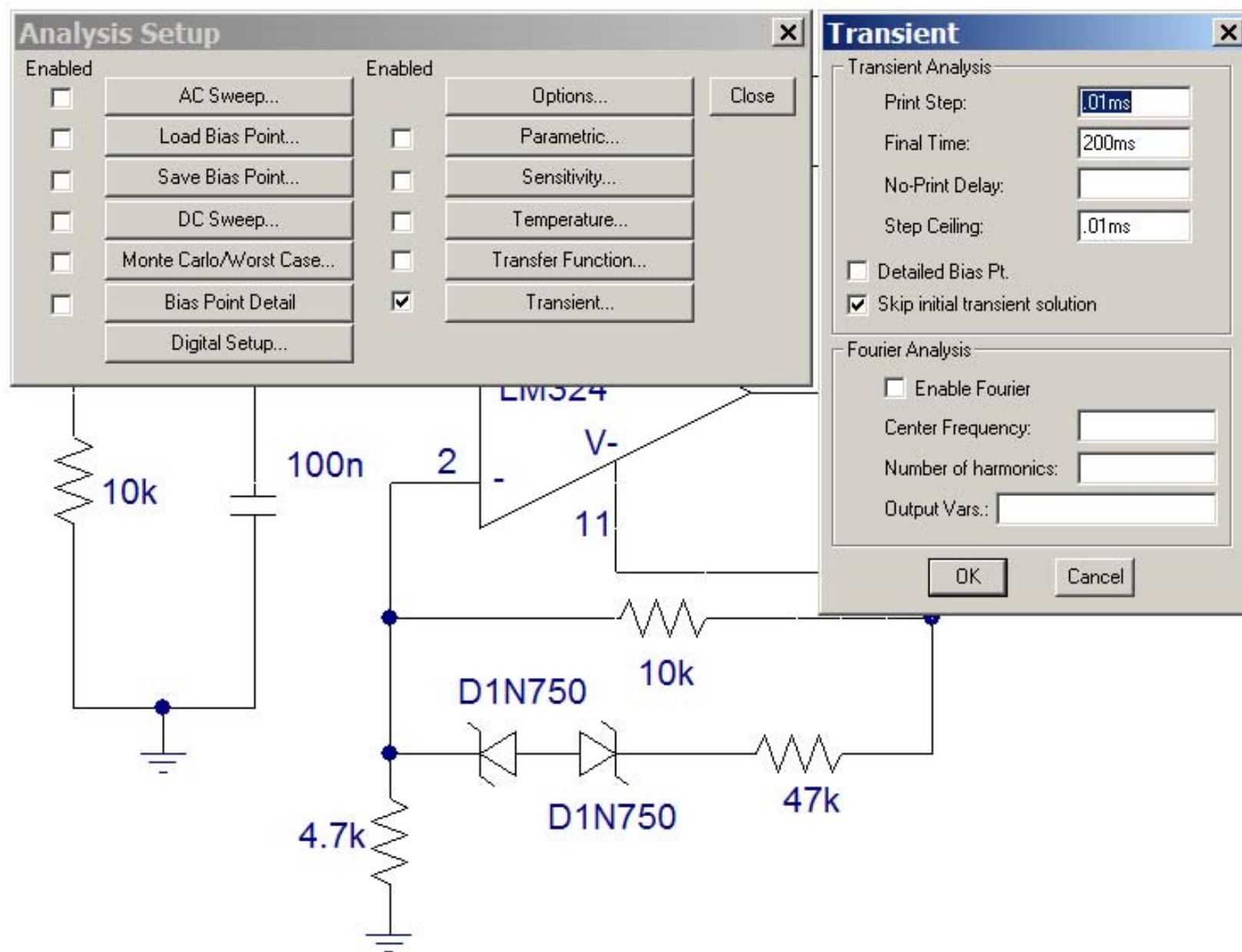
**NOTE 1:** Standard tolerance on JEDEC types shown is +/- 10%. Suffix letter A denotes +/- 5% tolerance; suffix letter C denotes +/- 2%; and suffix letter D denotes +/- 1% tolerance.

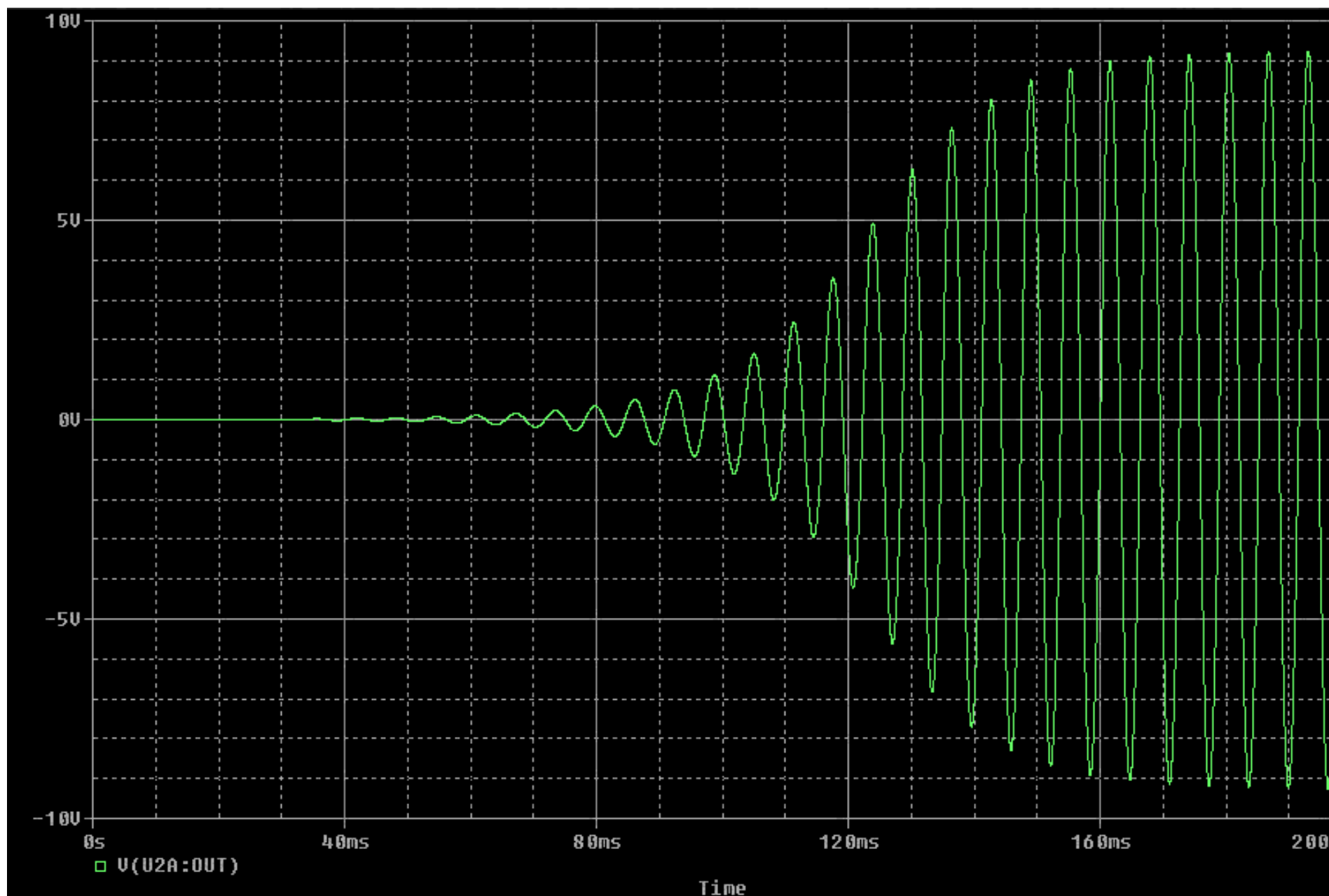
**NOTE 2:** Voltage measurements to be performed 20 seconds after application of dc test current.

**NOTE 3:** Zener impedance derived by superimposing on  $I_{ZT}$ , a 60 cps, rms ac current equal to 10%  $I_{ZT}$  (2mA ac). See MicroNote 202 for typical zener Impedance variation with different operating currents.

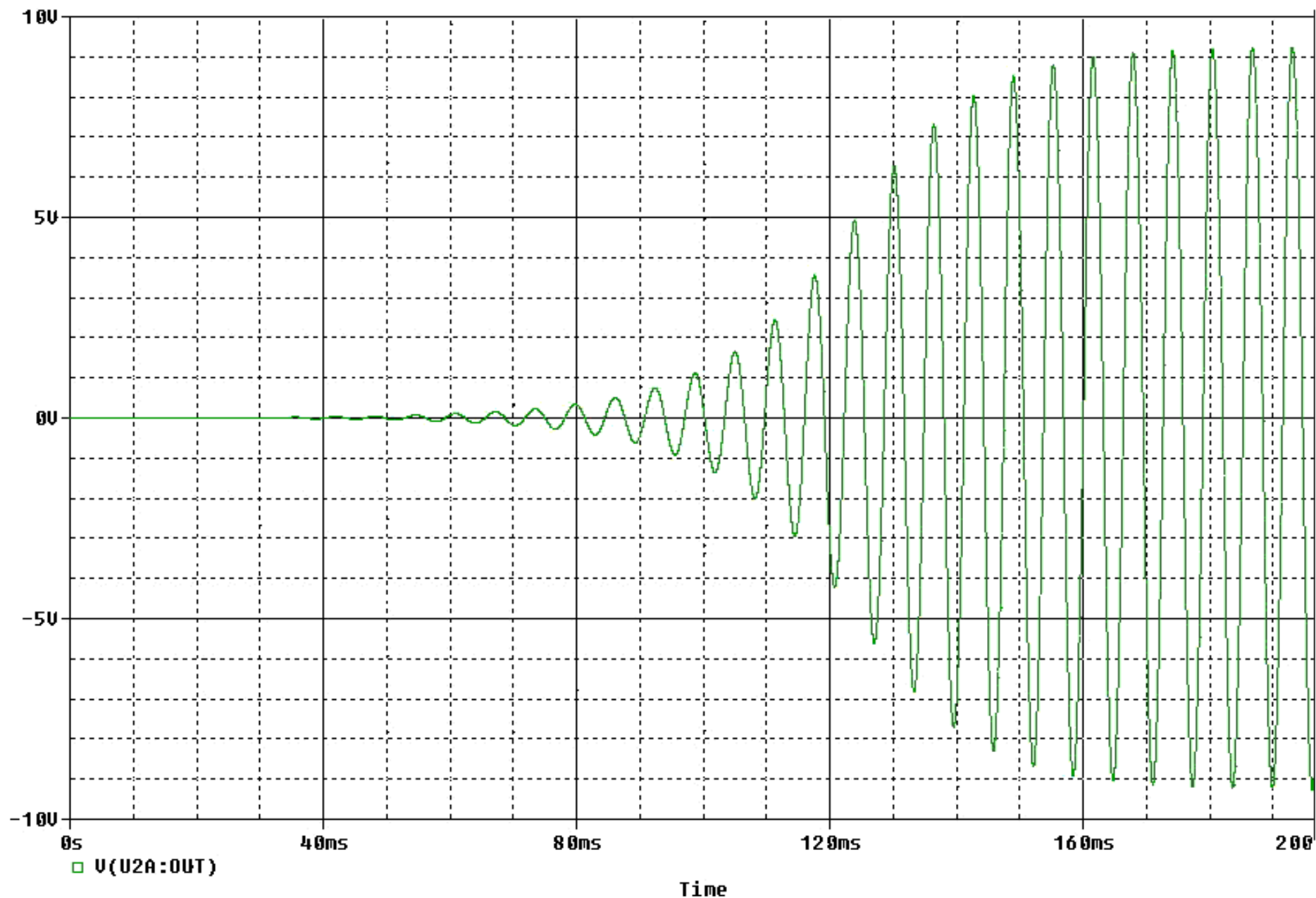
**NOTE 4:** Allowance has been made for the increase in  $V_Z$  due to  $Z_Z$  and for the increase in junction temperature as the unit approaches thermal equilibrium at the power dissipation of 400 mW.





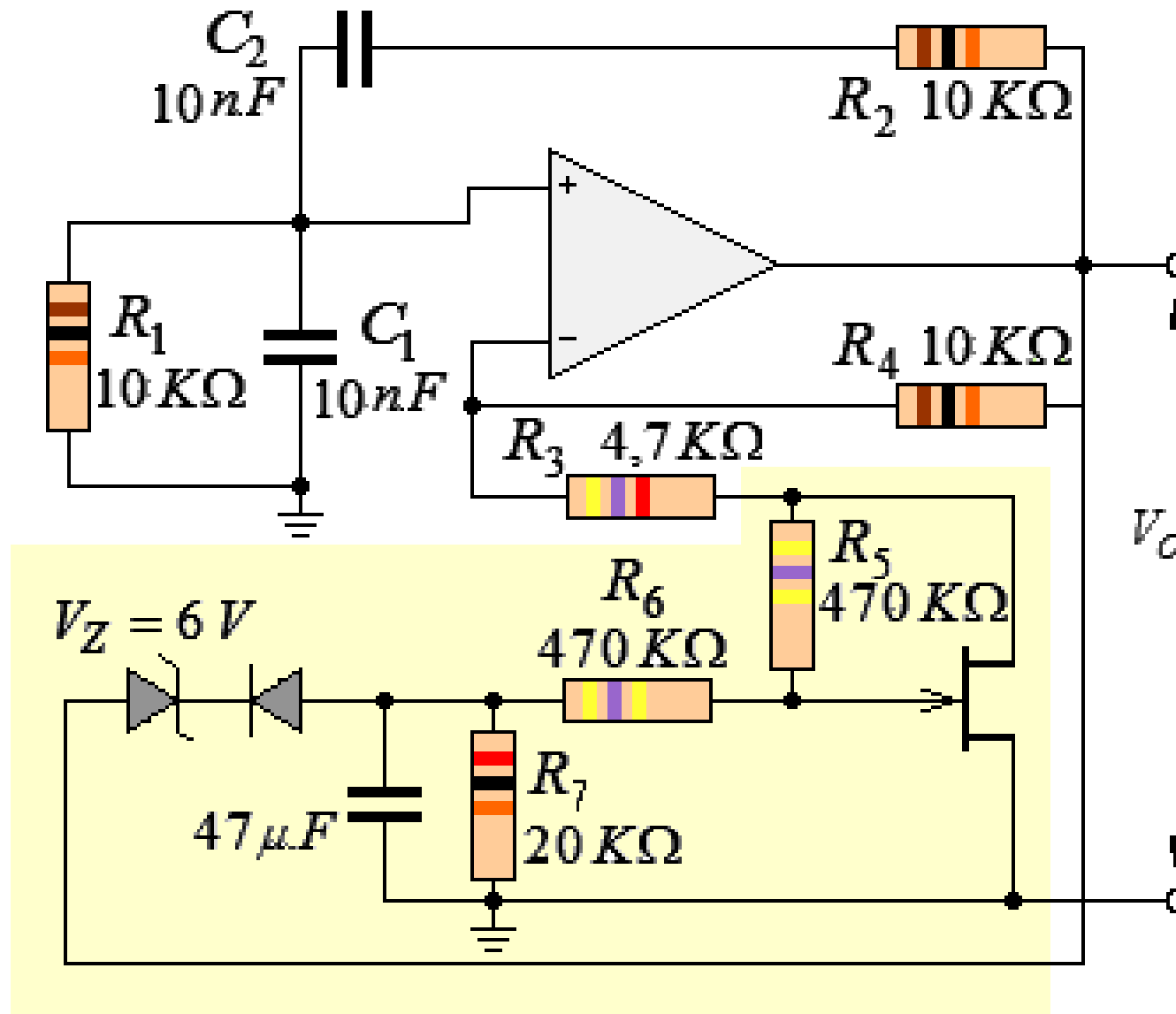


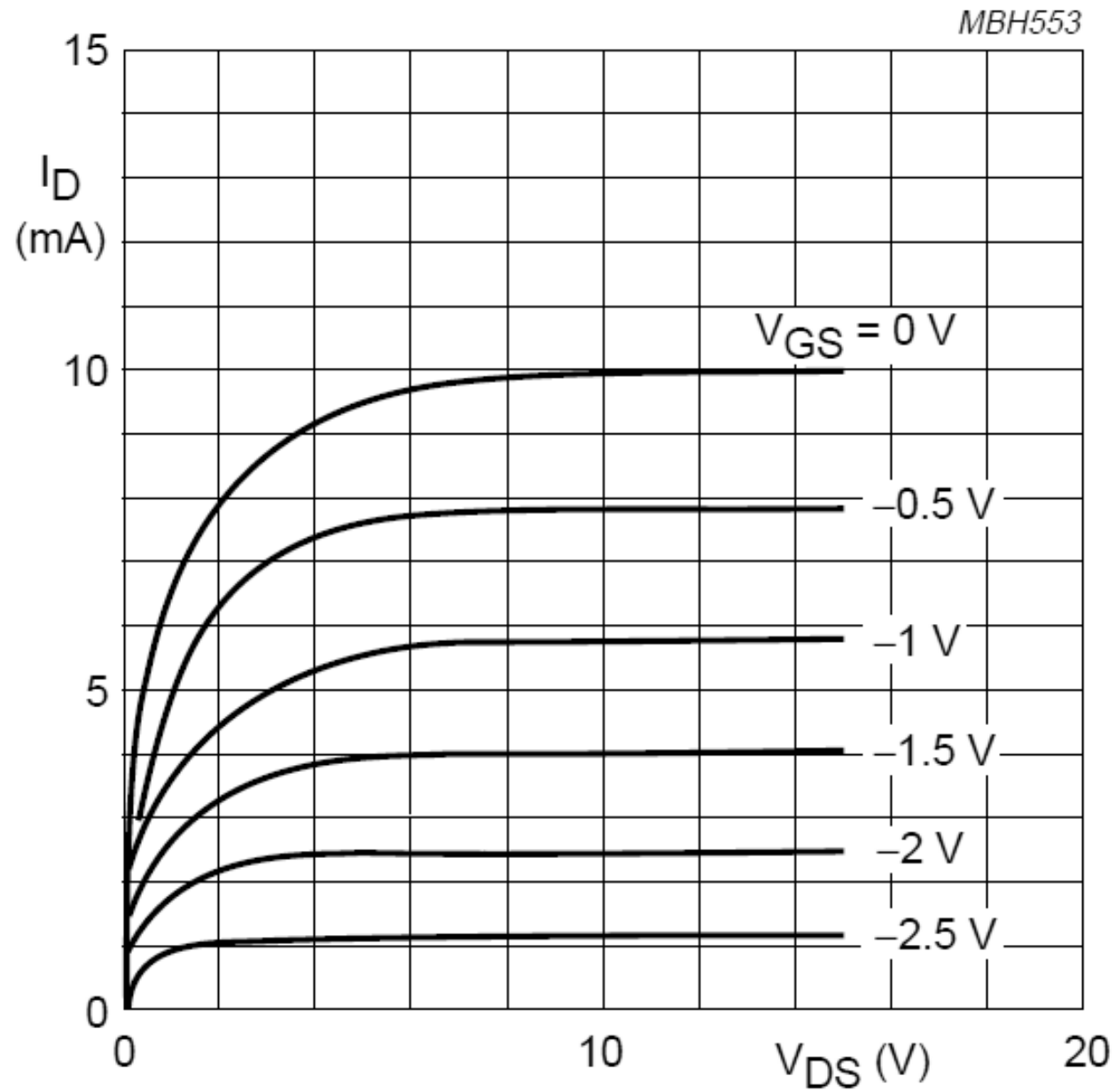
*Respuesta del oscilador con la ganancia controlada con zeners*



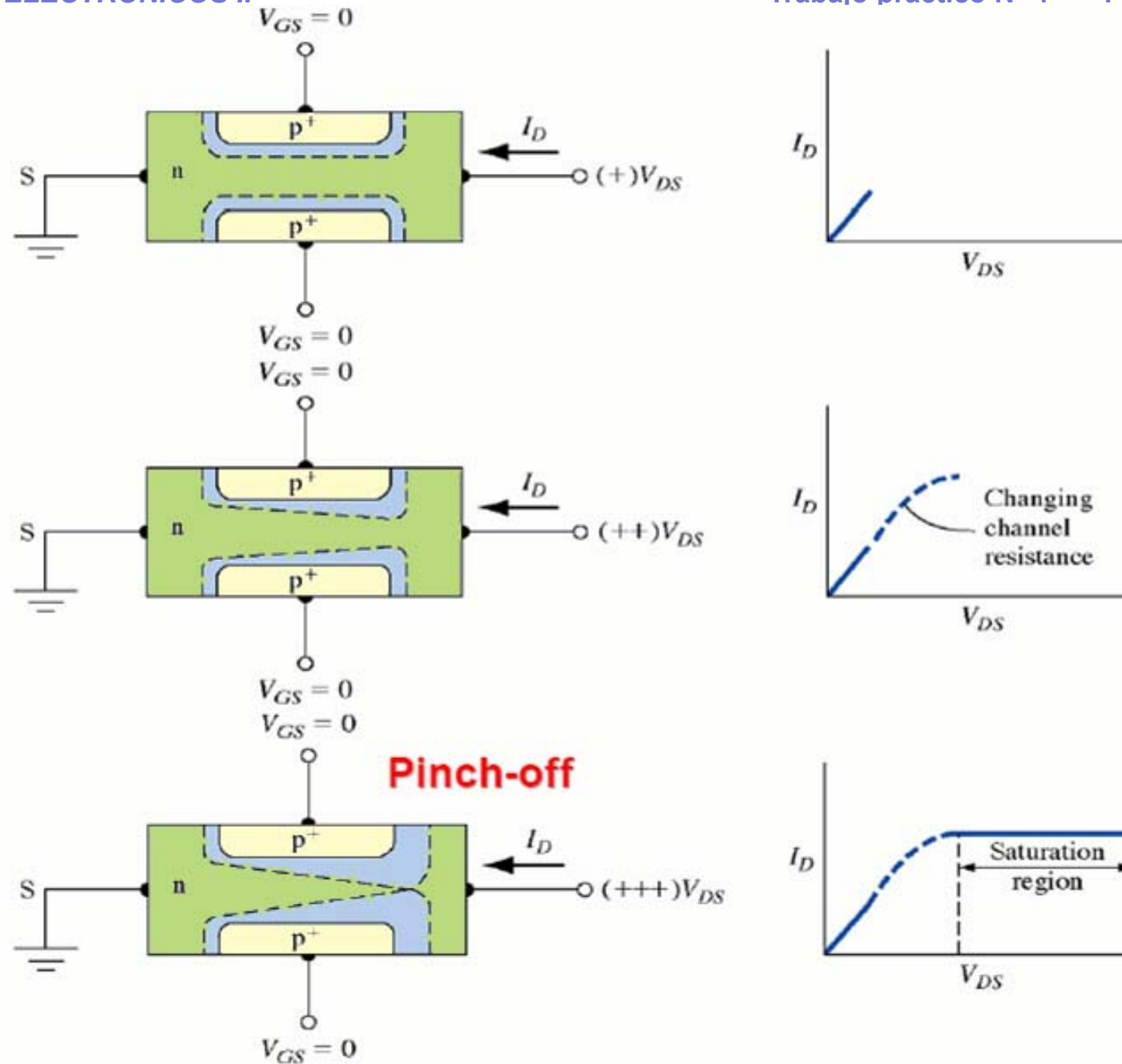
*Respuesta del oscilador con la ganancia controlada con zeners*

## Oscilador Puento de Wien



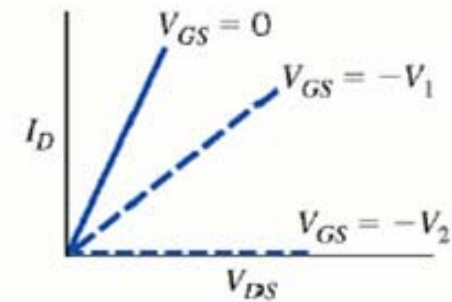
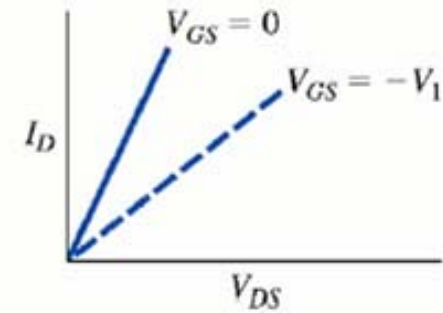
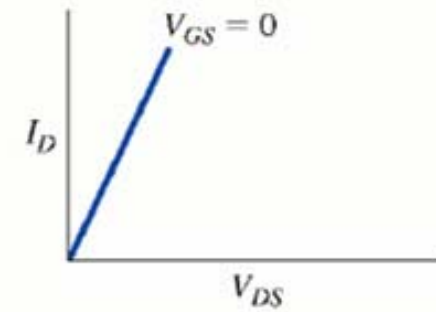
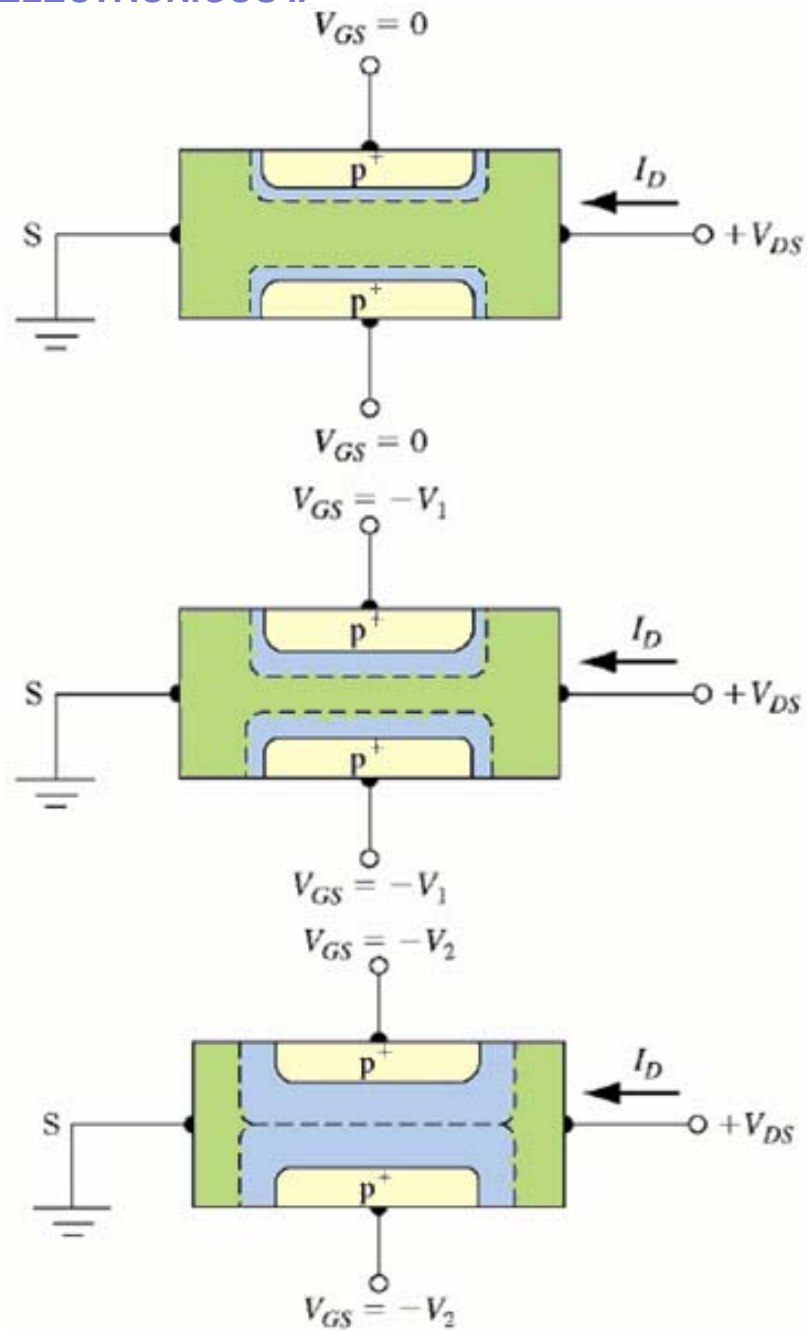


Output characteristics for BF245B:

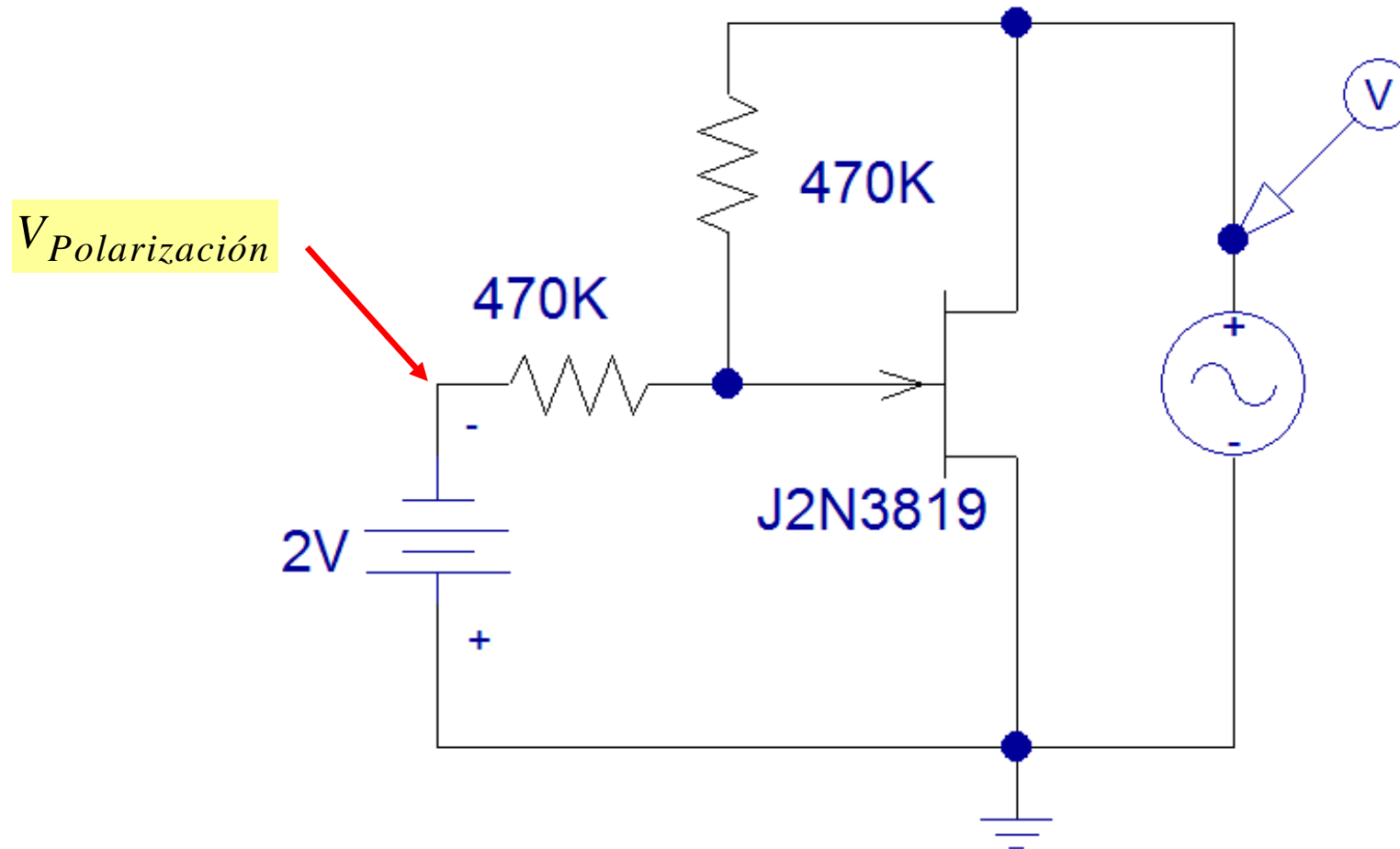


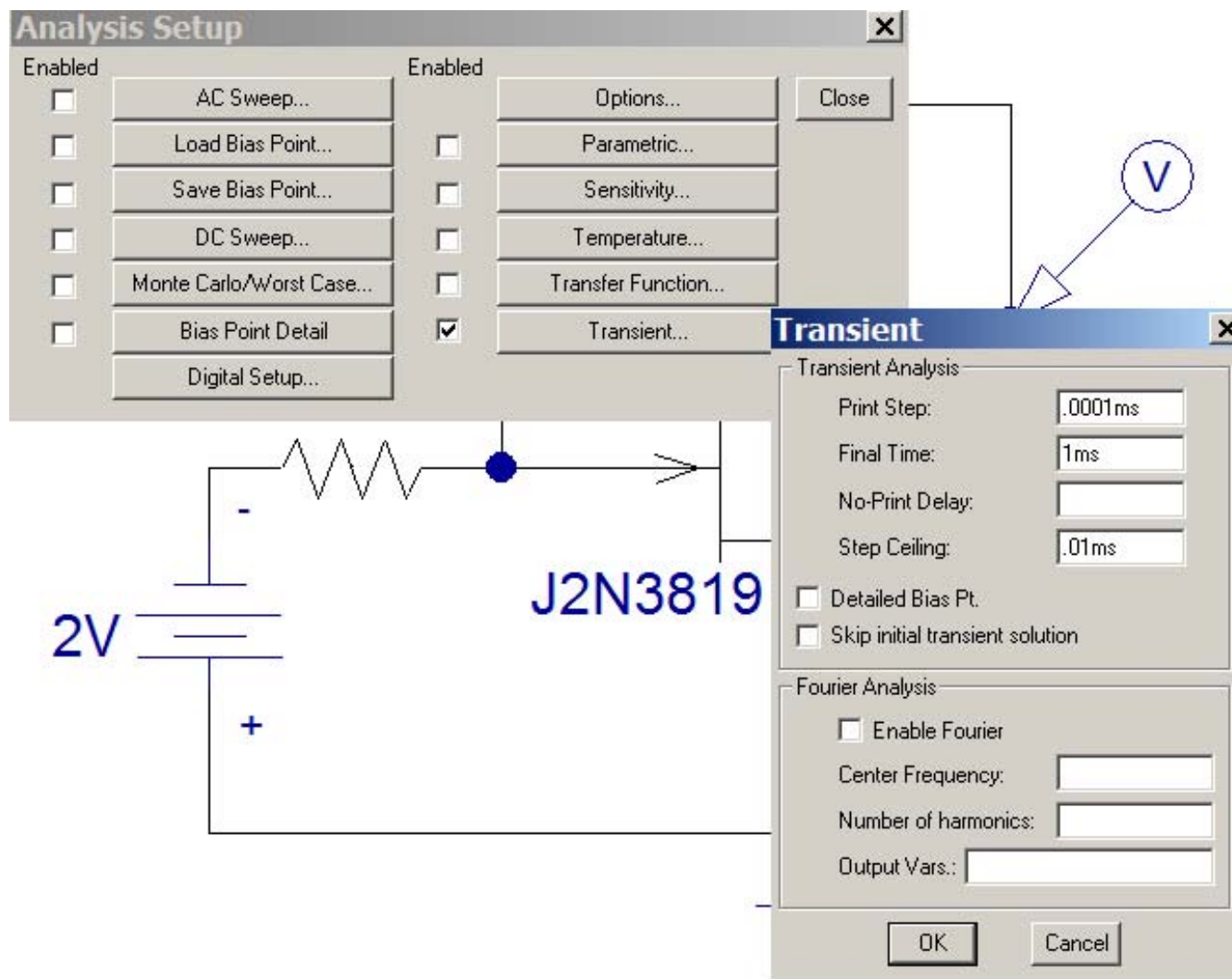
**After pinch-off:  $I_D \neq f(V_D)$ ;  $I_D = f(V_G)$  - current source**





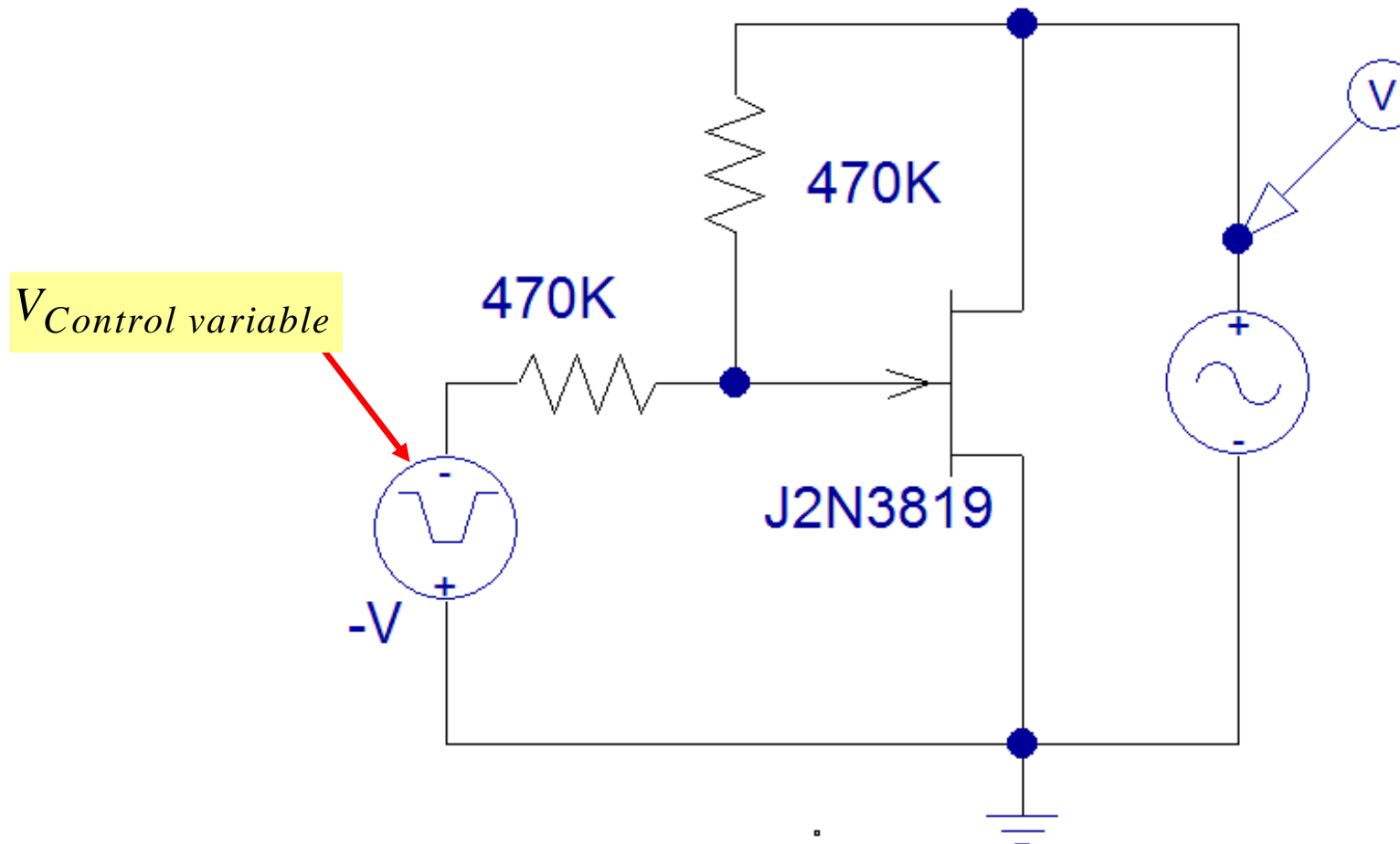
**$V_G$  controls the channel width  $\rightarrow V_G$  control  $I_d$**

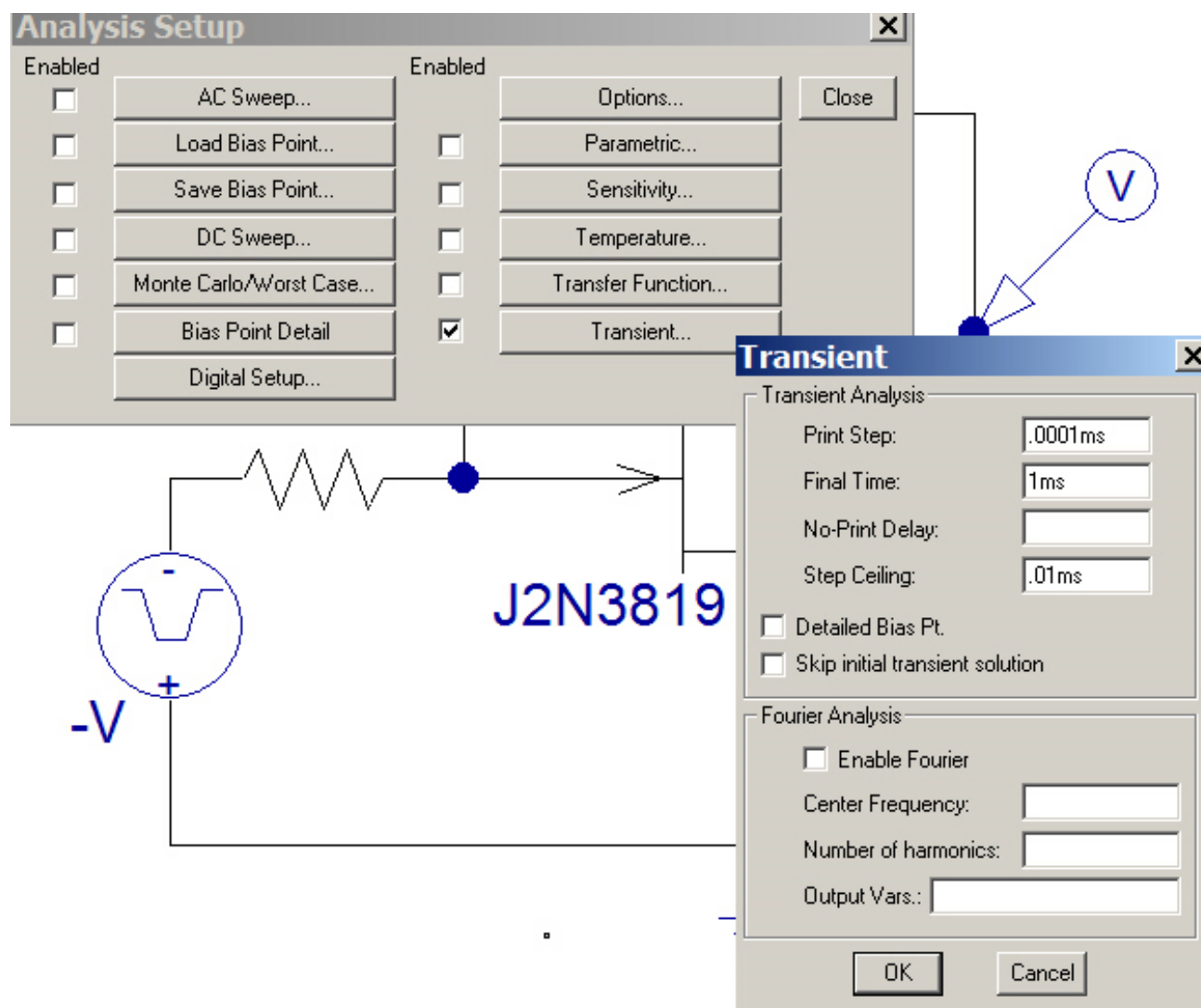


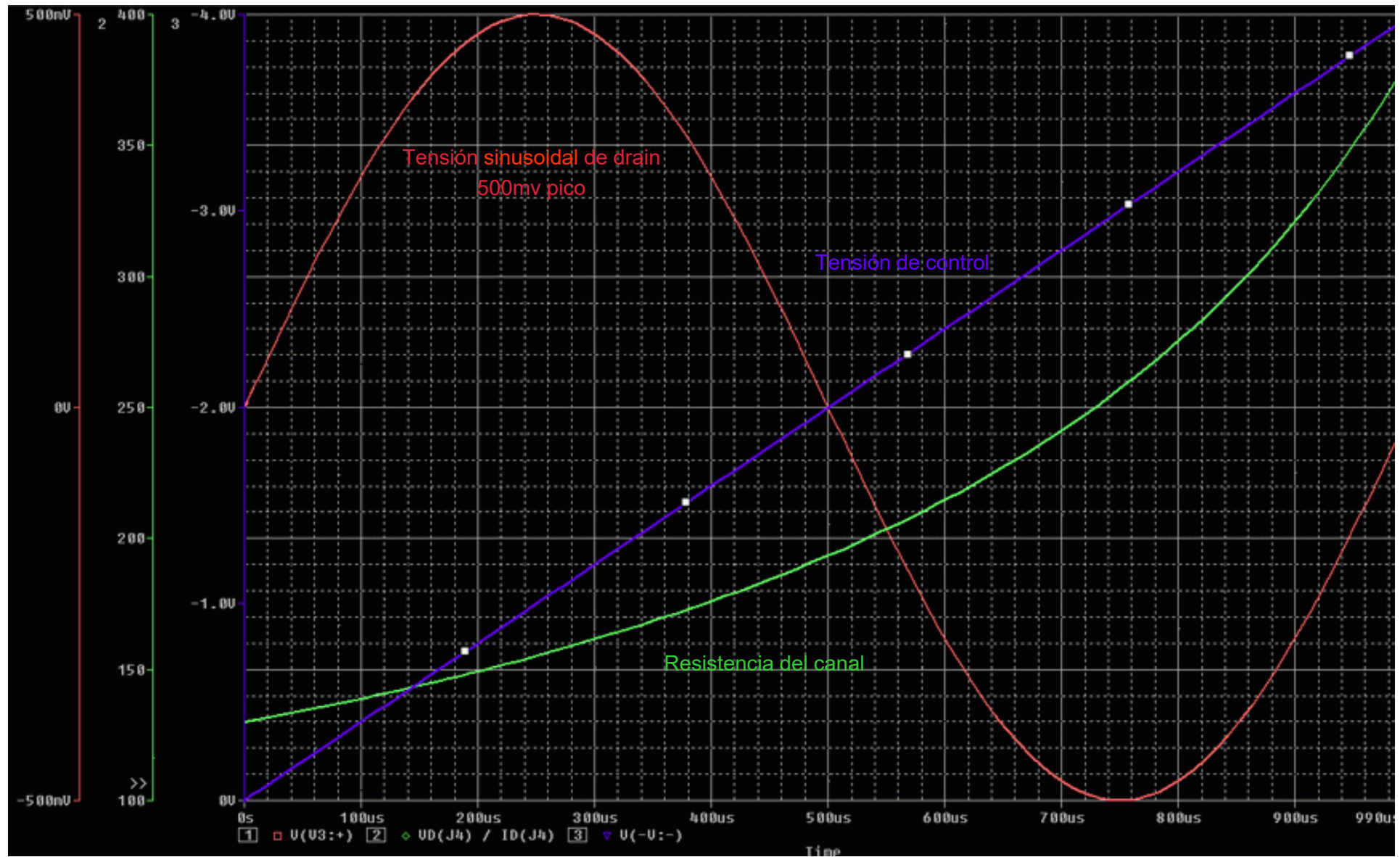




*Medición de la resistencia del canal del JFET con  $V_g$  fija y  $V_c$  sinusoidal*

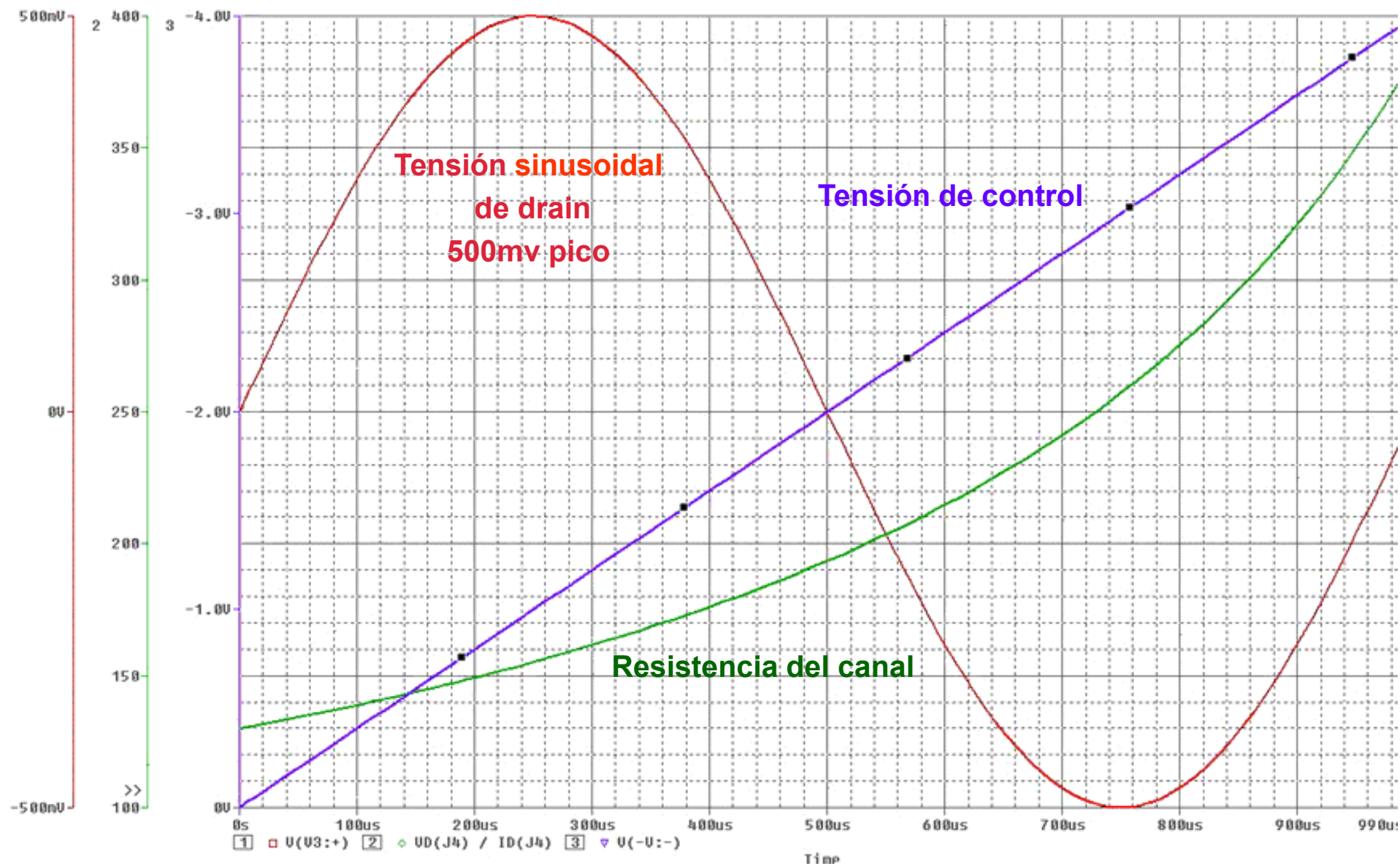






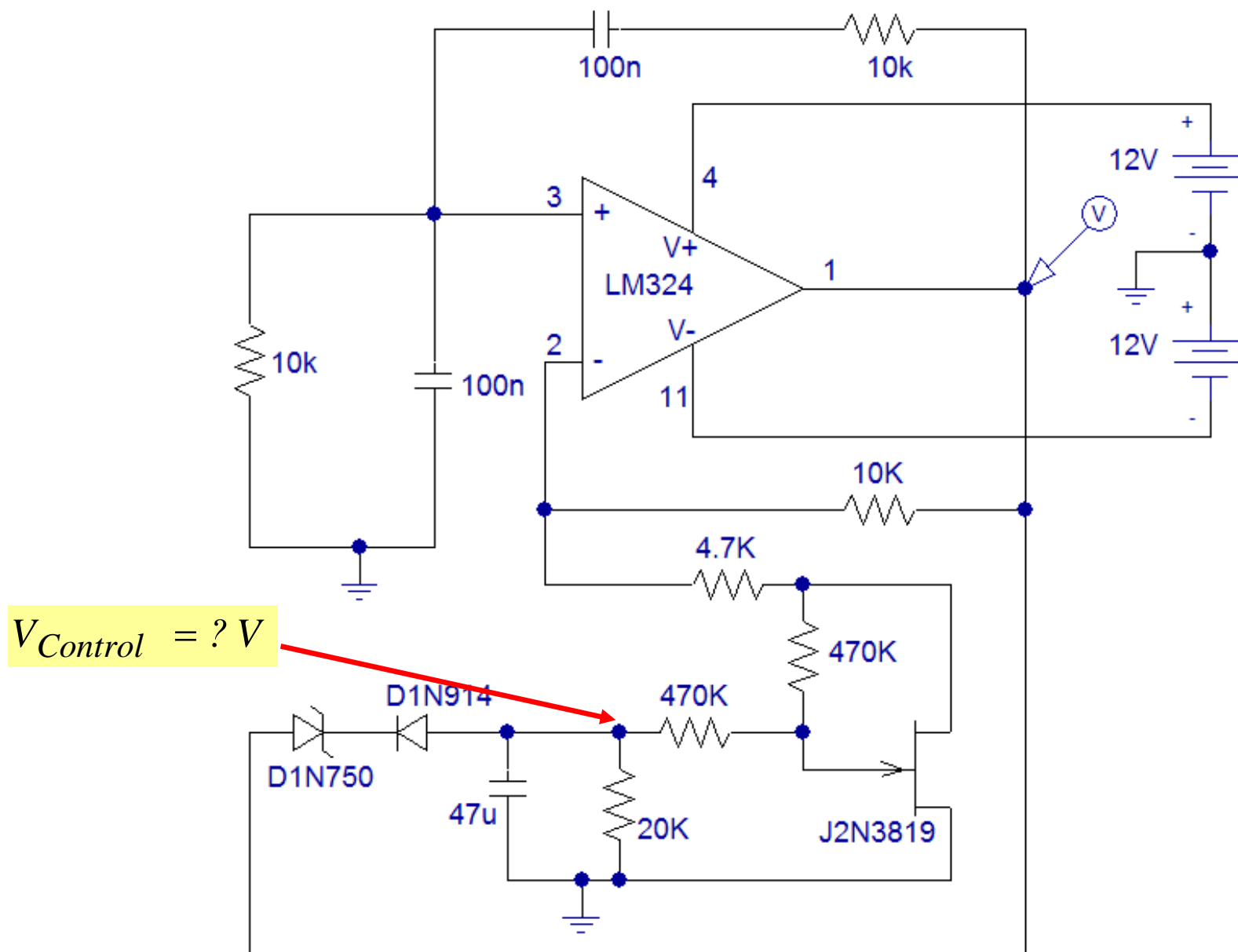
Medición de la resistencia del canal del JFET con  $V_g$  rampa y  $V_c$  sinusoidal

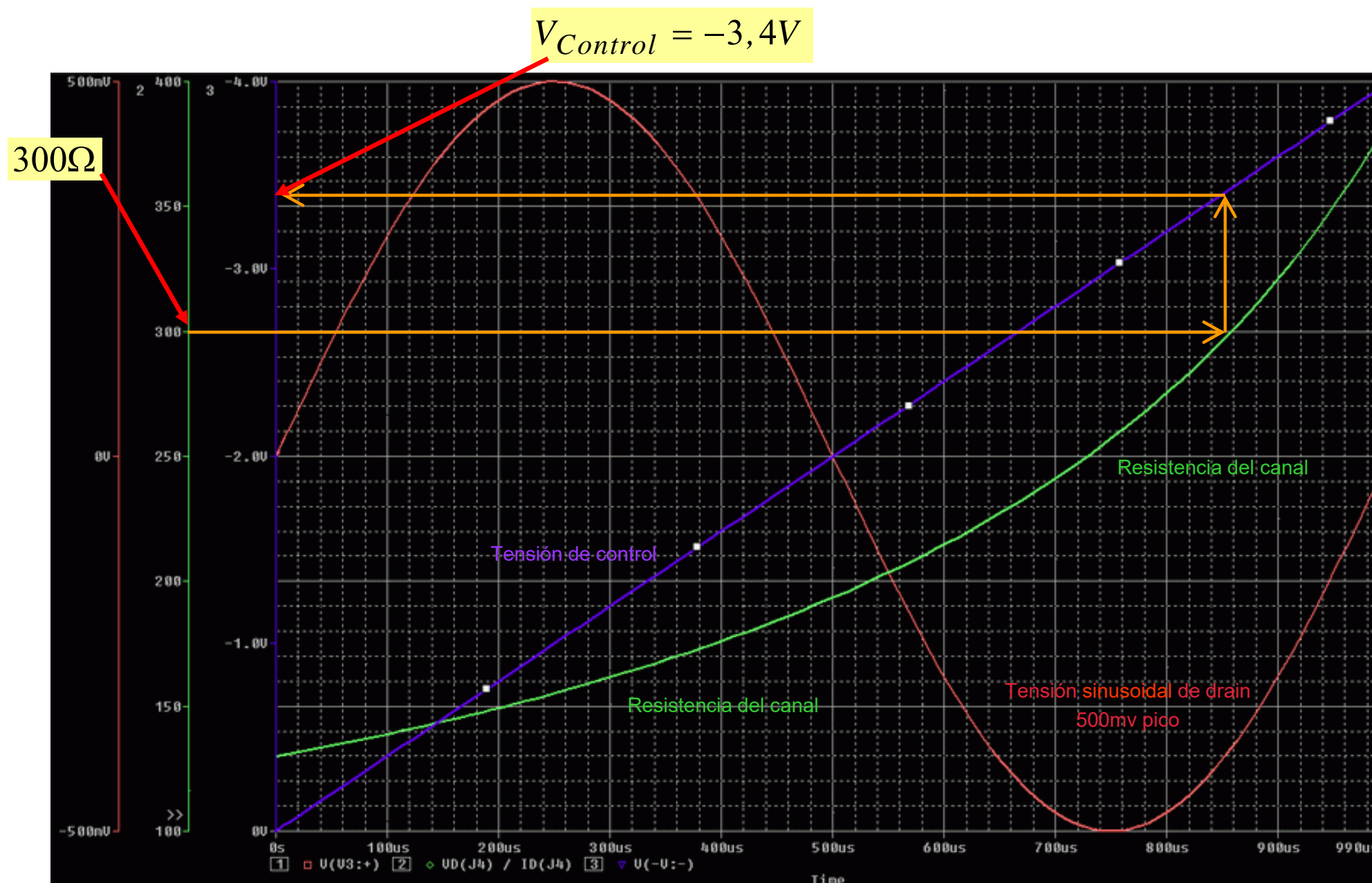




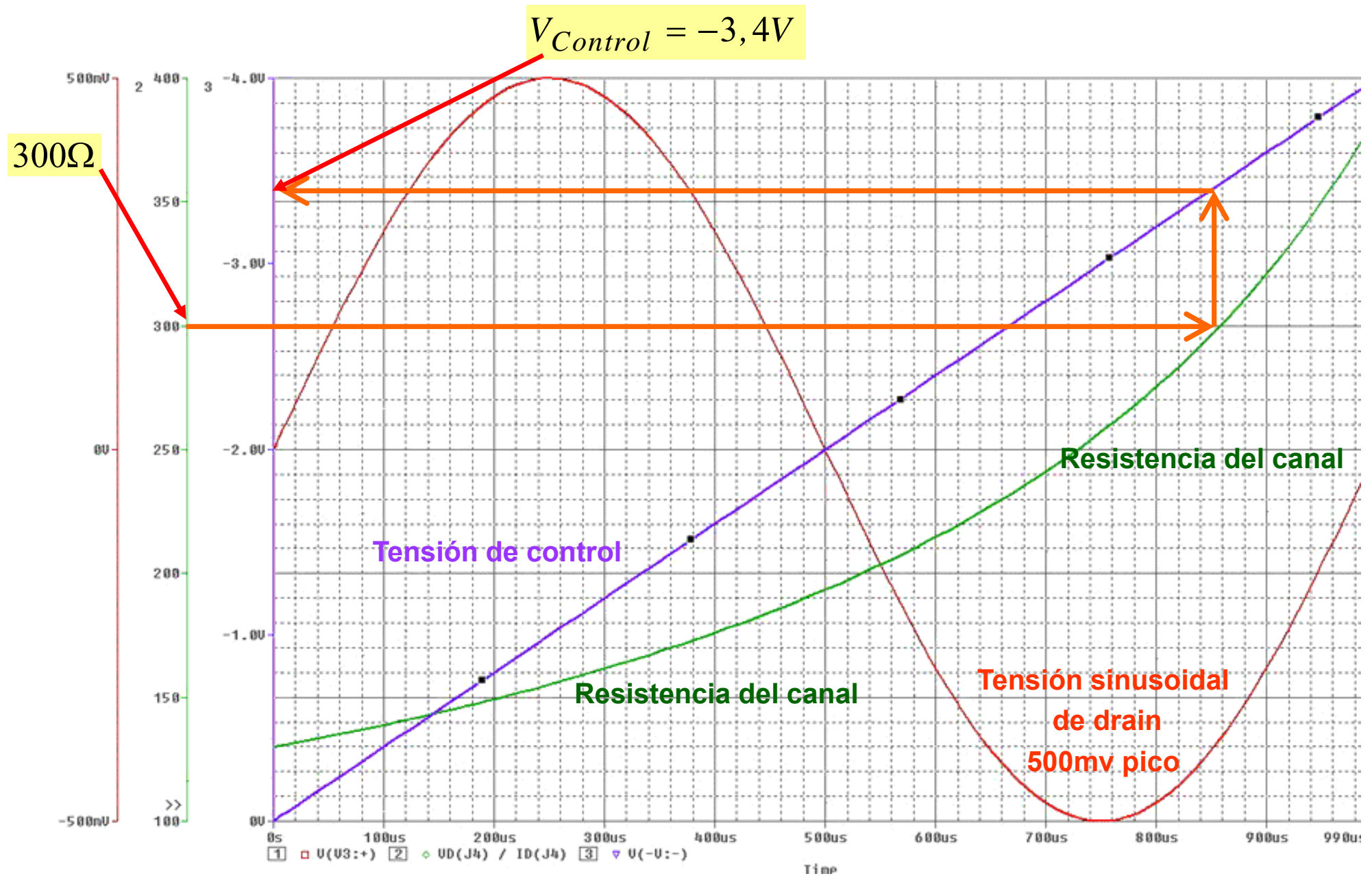
*Medición de la resistencia del canal del JFET con  $V_g$  rampa y  $V_c$  sinusoidal*



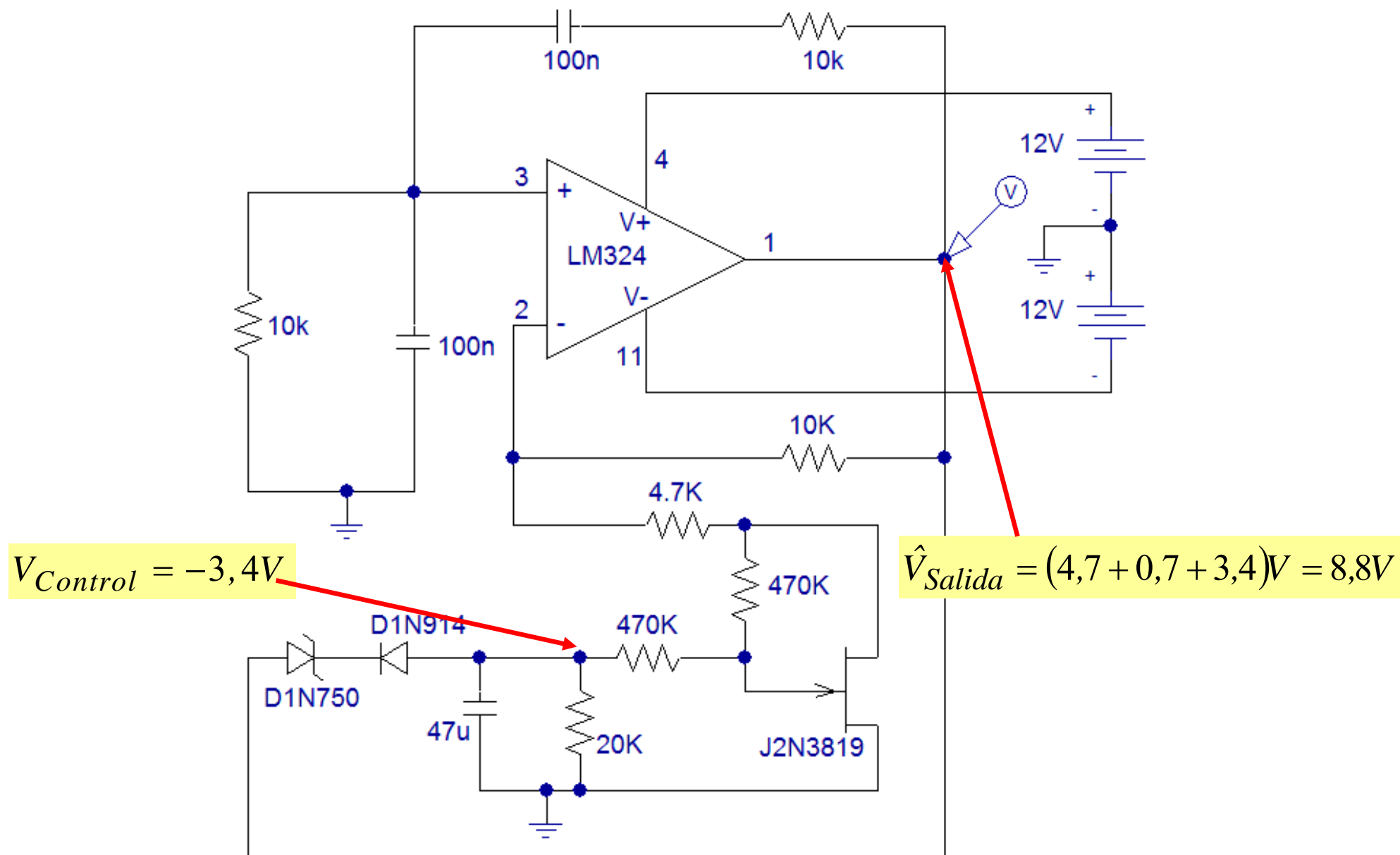


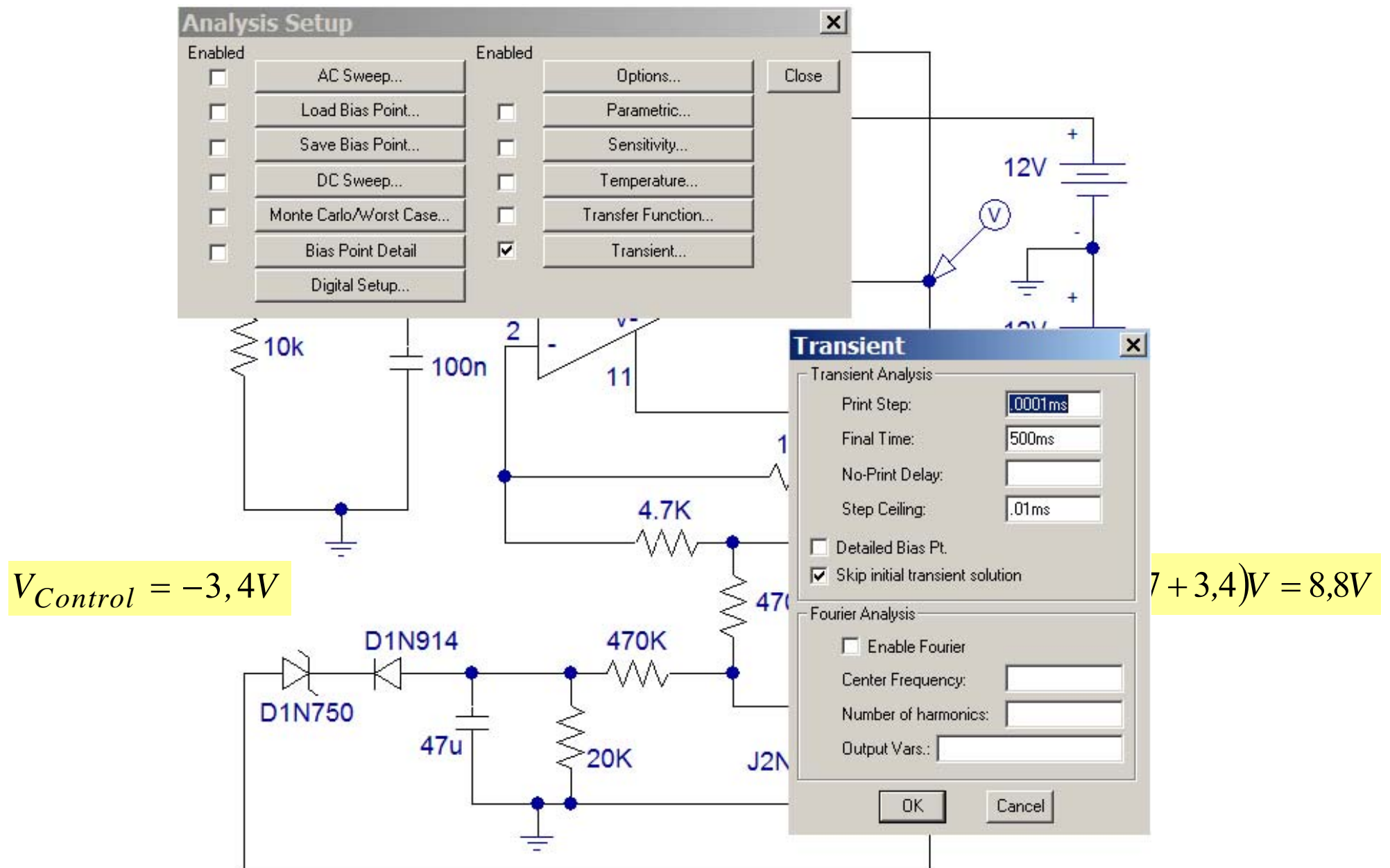


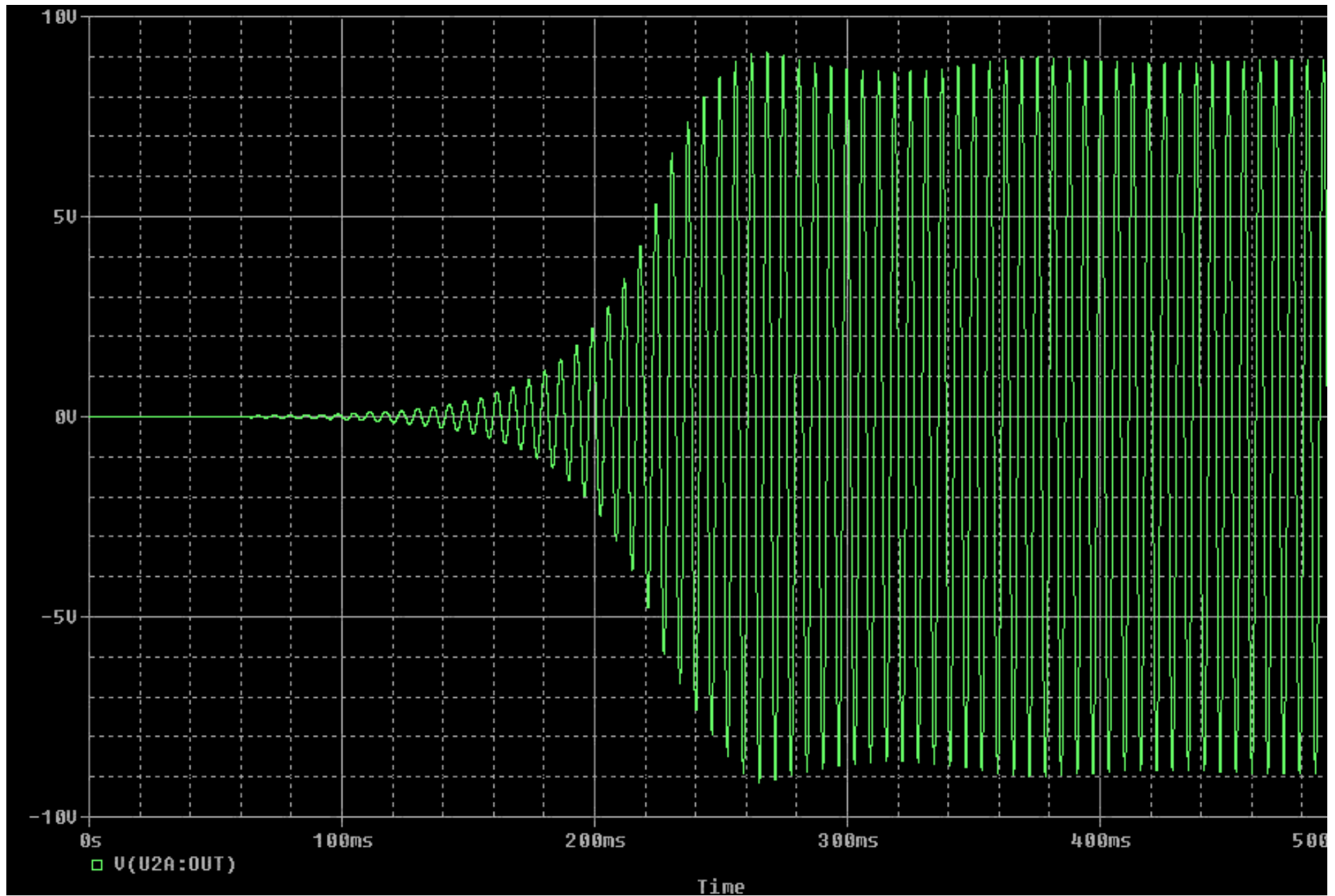
Obtención de la tensión  $V_g$  necesaria para obtener  $300\Omega$  en la resistencia del canal



Obtención de la tensión  $V_g$  necesaria para obtener  $300\Omega$  en la resistencia del canal

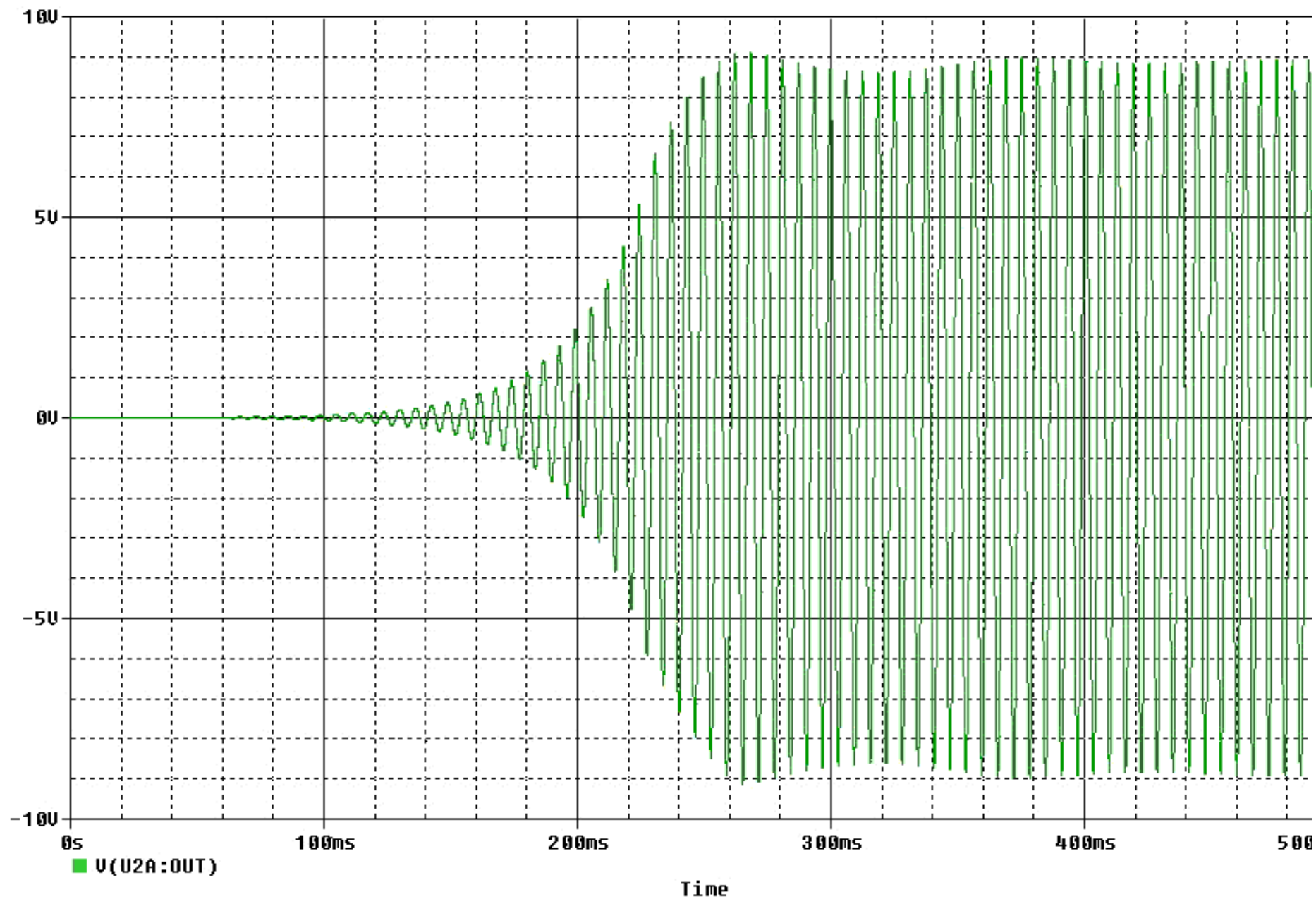




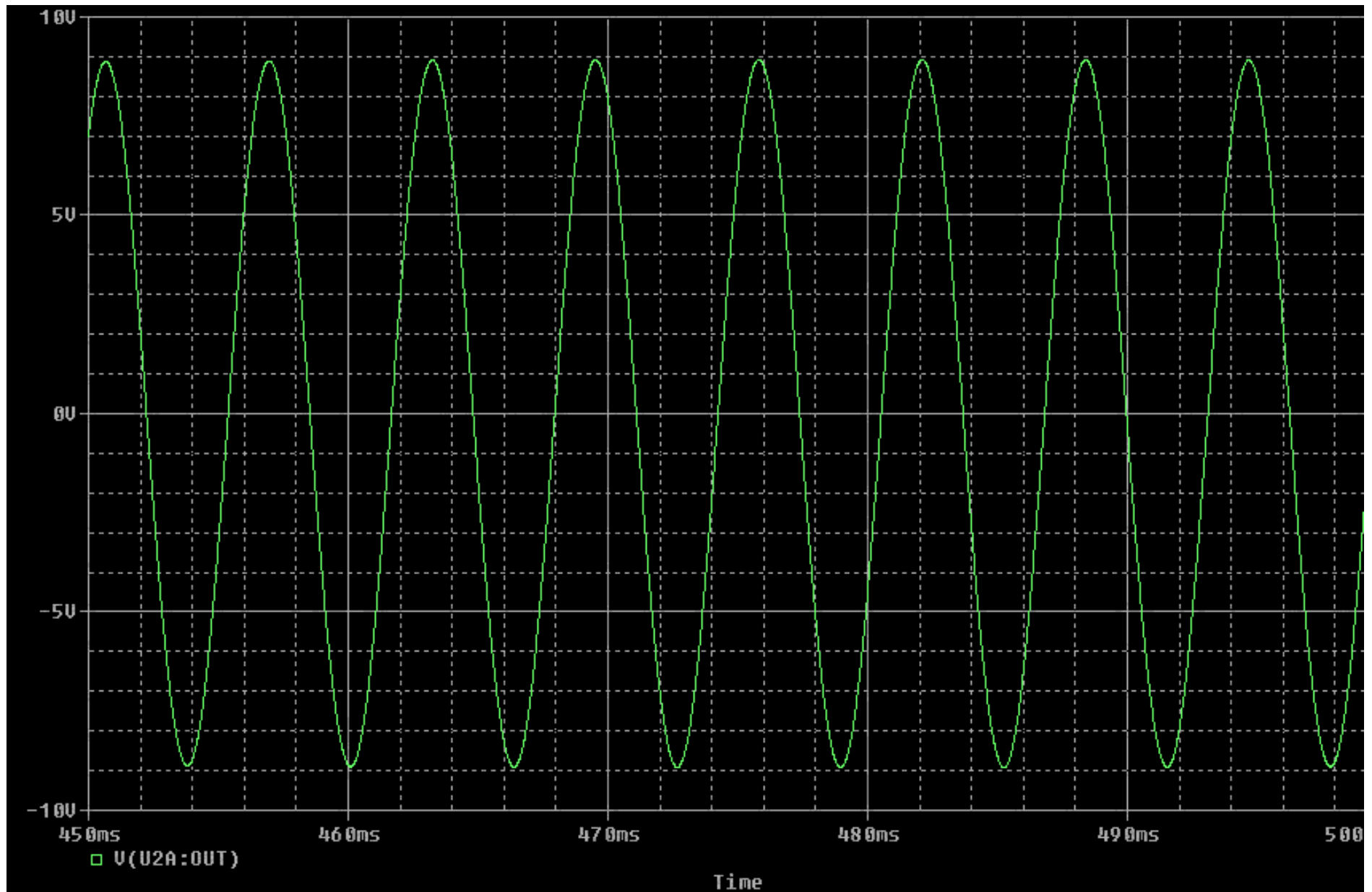


*Respuesta del oscilador con la ganancia controlada con JFET*



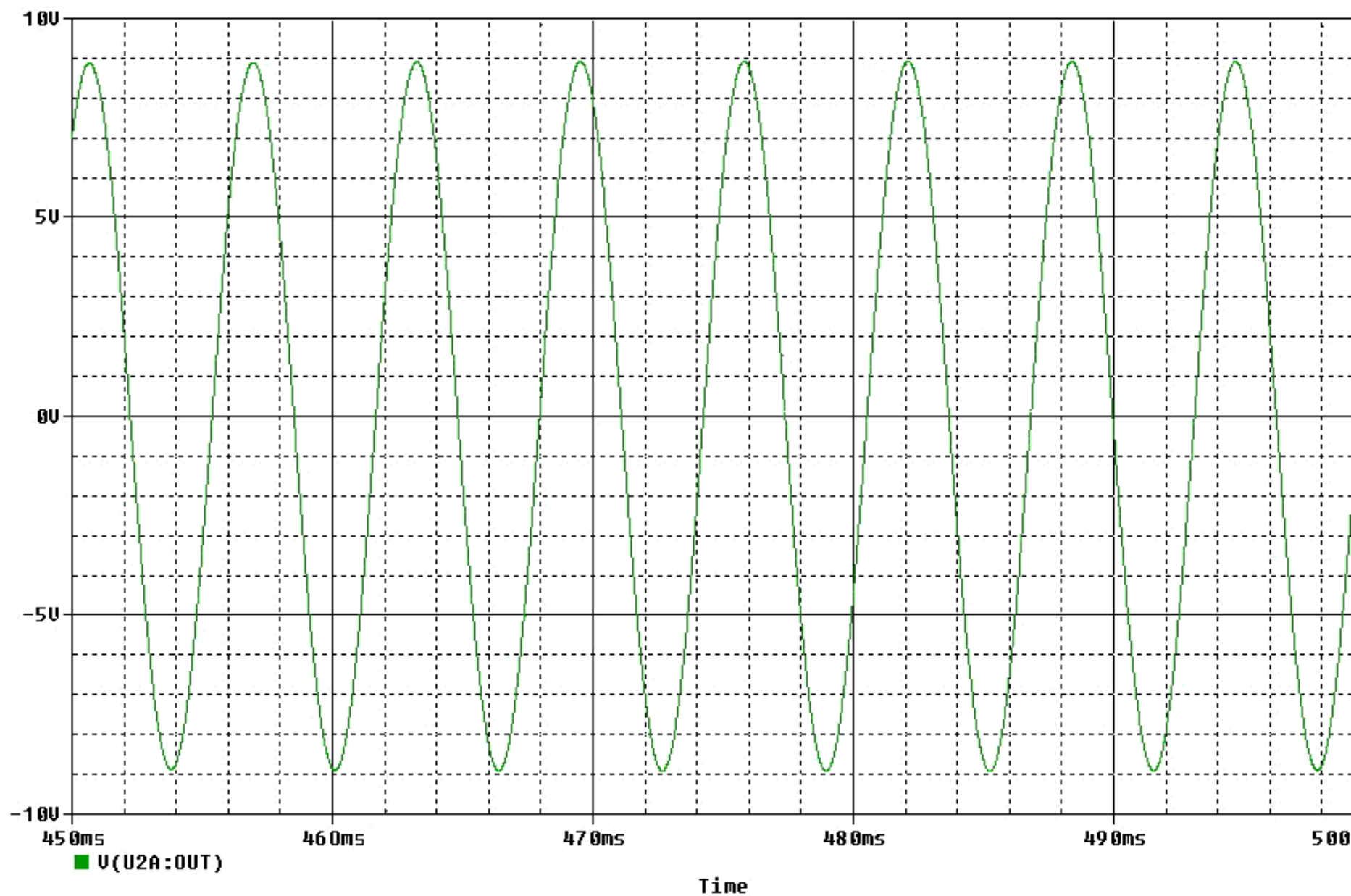


*Respuesta del oscilador con la ganancia controlada con JFET*



*Respuesta del oscilador con la ganancia controlada con JFET ampliada*





*Respuesta del oscilador con la ganancia controlada con JFET ampliada*